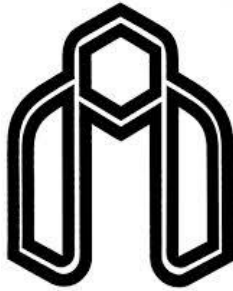


بِسْمِ اللَّهِ الرَّحْمَنِ الرَّحِيمِ



دانشگاه صنعتی شاهرود

دانشکده مهندسی مکانیک

گروه جامدات

پایان نامه‌ی کارشناسی ارشد

ارتعاشات غیر خطی سیستم متشکل از دو نانو صفحه دایره ای متصل به هم

توسط محیط الاستیک

استاد راهنما :

دکتر اردشیر کرمی محمدی

شهریور ۱۳۹۴

تأیید رییس دانشکده

گروه طراحی کاربردی

پایان نامه کارشناسی ارشد آقای رضا سلطانی

تحت عنوان:

ارتعاشات غیر خطی سیستم متشکل از دو نانو صفحه دایره ای متصل به هم توسط محیط الاستیک


در تاریخ توسط کمیته تخصصی زیر جهت اخذ مدرک کارشناسی ارشد مورد ارزیابی و با درجه مورد پذیرش قرار گرفت.

امضاء	اساتید مشاور	امضاء	اساتید راهنما
			دکتر اردشیر کرمی محمدی

امضاء	نماینده تحصیلات تکمیلی	امضاء	اساتید داور
	دکتر محمدباقر نظری		دکتر حمیدرضا ایپک چی
			دکتر امیر جلالی

تقدیم به

در و مادرم



تشکر و قدردانی:

ضمن سپاس فراوان از خانواده عزیزم لازم می‌دانم از تمامی اساتید به ویژه استاد گرانقدرم دکتر اردشیر کرمی محمدی که در تمام مراحل تحصیلی با راهنمایی‌های مدبرانه خود مسیر تحصیلی مرا نظارت و مدیریت نموده‌اند نهایت تشکر و قدردانی را داشته باشم.

تعهد نامه

اینجانب رضا سلطانی دانشجوی دوره کارشناسی ارشد رشته طراحی کاربردی دانشکده مکانیک دانشگاه صنعتی شاهرود نویسنده پایان نامه ارتعاشات غیر خطی سیستم متشکل از دو نانو صفحه دایره ای متصل به هم توسط محیط الاستیک تحت راهنمایی دکتر کرمی محمدی متعهد می شوم.

- تحقیقات در این پایان نامه توسط اینجانب انجام شده است و از صحت و اصالت برخوردار است.
- در استفاده از نتایج پژوهشهای محققان دیگر به مرجع مورد استفاده استناد شده است.
- مطالب مندرج در پایان نامه تاکنون توسط خود یا فرد دیگری برای دریافت هیچ نوع مدرک یا امتیازی در هیچ جا ارائه نشده است.
- کلیه حقوق معنوی این اثر متعلق به دانشگاه صنعتی شاهرود می باشد و مقالات مستخرج با نام « دانشگاه شاهرود » و یا « Shahrood University of Technology » به چاپ خواهد رسید.
- حقوق معنوی تمام افرادی که در به دست آمدن نتایج اصلی پایان نامه تأثیرگذار بوده اند در مقالات مستخرج از پایان نامه رعایت می گردد.
- در کلیه مراحل انجام این پایان نامه ، در مواردی که از موجود زنده (یا بافتهای آنها) استفاده شده است ضوابط و اصول اخلاقی رعایت شده است.
- در کلیه مراحل انجام این پایان نامه، در مواردی که به حوزه اطلاعات شخصی افراد دسترسی یافته یا استفاده شده است اصل رازداری ، ضوابط و اصول اخلاقی انسانی رعایت شده است

تاریخ

امضای دانشجو رضا سلطانی

مالکیت نتایج و حق نشر

- کلیه حقوق معنوی این اثر و محصولات آن (مقالات مستخرج، کتاب، برنامه های رایانه ای، نرم افزار ها و تجهیزات ساخته شده است) متعلق به دانشگاه صنعتی شاهرود می باشد. این مطلب باید به نحو مقتضی در تولیدات علمی مربوطه ذکر شود.
- استفاده از اطلاعات و نتایج موجود در پایان نامه بدون ذکر مرجع مجاز نمی باشد.

چکیده

ارتعاشات غیرخطی و متقارن محوری سیستم تشکیل شده از دو نانوصفحه دایره‌ای شکل متصل به هم توسط محیط الاستیک غیرخطی، مورد بررسی قرار گرفته است. پارامترهای ارتعاشی سیستم، با استفاده از تئوری الاستیسیته غیرمحلّی ارینگن، فرمول‌بندی شده است. با استفاده از یک روش، شکل‌مادهای غیرخطی، فرکانس‌های طبیعی سیستم، برای شرایط مرزی گیردار، استخراج شده‌اند. ابتدا، با استفاده از روش مقیاس‌های چندگانه^۱، معادله‌های حرکت و شرایط مرزی حاکم بر مسئله، استخراج شده‌اند. سپس با استفاده از روش گلرکین^۲، به یافتن شکل‌مادهای نرمال غیرخطی سیستم، پرداخته شده است. در این تحقیق، اثر مقیاس‌کوچک و غیرخطی سیستم، بر پارامترهای ارتعاشی و شکل‌مود آن، بررسی شده است.

پس از بررسی مشاهده شد افزایش مقدار پارامتر غیرموضعی، مقدار فرکانس طبیعی را افزایش می‌دهد. این افزایش، با بیشتر شدن مقدار این پارامتر، شدت می‌گیرد. همچنین مشاهده شد، انحراف فرکانس طبیعی سیستم در حالت غیرخطی، از فرکانس سیستم در حالت خطی، رابطه‌ی مستقیمی با مقدار ضریب غیرخطی محیط الاستیک دارد. نتایج بدست آمده برای تأثیر پارامترهای غیرخطی و غیرمحلّی سیستم، بر روی شکل‌مود سیستم، حاکی از آن است که افزایش این پارامترها، می‌تواند شیب شکل‌مود در حوالی موقعیت ماکزیمم را، کمتر کند.

• واژگان کلیدی:

ارتعاشات غیرخطی، سیستم نانومقیاس، محیط الاستیک غیرخطی

¹ Multiple Scale

² Galerkin

فهرست علائم

E	مدول یانگ
ρ	دانسیتة جرمی
W	جابجایی خمشی نانو صفحه
ν	نسبت پواسن
r	فاصله شعاعی از مرکز نانوصفحه
σ_{ij}	تانسور تنش غیر محلی
t_{ij}	تانسور تنش کلاسیک
e_0	ضریب ثابت کالیبراسیون ارینگن
a	ضریب طول داخلی ارینگن
h	ضخامت نانو صفحه
k_1	ضریب خطی محیط الاستیک بین نانو صفحات
k_2	ضریب غیر خطی محیط الاستیک بین نانو صفحات
R	شعاع نانو صفحه
ϵ	مرتبه بی بعد و کوچک دامنه ارتعاش

فهرست

- ۱- فصل اول: مقدمه..... ۱
- ۱-۱- مروری بر کارهای گذشته..... ۲
- ۲- فصل دوم: فرمول بندی ابتدایی..... ۵
- ۱-۲- مروری بر تئوری الاستیسیته ی غیرمحلّی..... ۶
- ۳- فصل سوم: فرمول بندی نهایی..... ۹
- ۱-۳- معادله های حرکت آزاد..... ۱۰
- ۴- فصل چهارم: حلّ معادله های حاکم بر مسأله..... ۱۵
- ۱-۴- حل دستگاه معادله های حاکم بر مسأله..... ۱۶
- ۲-۴- روند حلّ دسته ی معادله های اوّل..... ۱۸
- ۱-۲-۴- اعمال شرایط مرزی گیردار برای نانوصفحه های دایره ای..... ۲۰
- ۲-۲-۴- اعمال شرایط مرزی گیردار برای نانوصفحه های حلقه ای..... ۲۱
- ۳-۴- روند حلّ دسته ی معادله های دوم..... ۲۹
- ۱-۳-۴- اعمال شرایط مرزی گیردار برای نانوصفحه های دایره ای..... ۳۰
- ۲-۳-۴- اعمال شرایط مرزی گیردار برای نانوصفحه های حلقه ای..... ۳۱
- ۵- فصل پنجم: نتیجه ها..... ۳۹
- ۱-۵- راستی آزمایی نتیجه ها..... ۴۰
- ۲-۵- نتایج بدست آمده برای فرکانس غیرخطی سیستم..... ۴۱
- ۳-۵- نتایج بدست آمده برای شکل موده های سیستم..... ۴۴

۶- فصل ششم: نتیجه گیری.....۵۳

۷- مراجع.....۵۵

۸- پیوست۵۹

عنوان	صفحه
شکل ۱-۱ مدل سیستم دو نانوصفحه‌ای دایره‌ای شکل متصل به هم توسط محیط الاستیک غیرخطی.	۱۱
شکل ۵-۱. مقایسه‌ی نتیجه‌های به‌دست آمده برای فرکانس طبیعی بی‌بعد غیرخطی اول برای مقدارهای مختلفی از ضریب فنریت غیرخطی، برای سیستم تشکیل شده از نانوصفحه‌های دایره‌ای.	۴۱
شکل ۵-۲. مقایسه‌ی نتیجه‌های به‌دست آمده برای فرکانس طبیعی بی‌بعد غیرخطی اول برای مقدارهای مختلفی از ضریب فنریت غیرخطی، برای سیستم تشکیل شده از نانوصفحه‌های حلقه‌ای.	۴۱
شکل ۵-۳. مقایسه‌ی نتیجه‌های به‌دست آمده برای فرکانس طبیعی بی‌بعد غیرخطی اول برای مقدارهای مختلفی از مرتبه‌ی جابجایی عرضی، برای سیستم تشکیل شده از نانوصفحه‌های دایره‌ای.	۴۲
شکل ۵-۴. مقایسه‌ی نتیجه‌های به‌دست آمده برای فرکانس طبیعی بی‌بعد غیرخطی اول برای مقدارهای مختلفی از مرتبه‌ی جابجایی عرضی، برای سیستم تشکیل شده از نانوصفحه‌های حلقه‌ای.	۴۳
شکل ۵-۵. مقایسه‌ی نتیجه‌های به‌دست آمده برای فرکانس طبیعی بی‌بعد غیرخطی اول برای مقدارهای مختلفی از پارامتر غیرمحلی، برای سیستم تشکیل شده از نانوصفحه‌های دایره‌ای.	۴۳

- شکل ۵-۶. مقایسه‌ی نتیجه‌های به‌دست آمده برای فرکانس طبیعی بی‌بعد غیرخطی اول، برای مقادیرهای مختلفی از پارامتر غیرمحلّی، برای سیستم تشکیل شده از نانوصفحه‌های حلقه‌ای.
- شکل ۵-۷. مقایسه‌ی نتیجه‌های به‌دست آمده برای مودشپ نانوصفحه‌ی اول، برای مقدار-های مختلفی از دامنه‌ی حرکت، برای سیستم تشکیل شده از نانوصفحه‌های دایره‌ای.
- شکل ۵-۸. مقایسه‌ی نتیجه‌های به‌دست آمده برای مودشپ نانوصفحه‌ی دوم، برای مقدار-های مختلفی از دامنه‌ی حرکت، برای سیستم تشکیل شده از نانوصفحه‌های دایره‌ای.
- شکل ۵-۹. مقایسه‌ی نتیجه‌های به‌دست آمده برای مودشپ نانوصفحه‌ی اول، برای مقدار-های مختلفی از دامنه‌ی حرکت، برای سیستم تشکیل شده از نانوصفحه‌های حلقه‌ای.
- شکل ۵-۱۰. مقایسه‌ی نتیجه‌های به‌دست آمده برای مودشپ نانوصفحه‌ی دوم، برای مقدارهای مختلفی از دامنه‌ی حرکت، برای سیستم تشکیل شده از نانوصفحه‌های حلقه‌ای.
- شکل ۵-۱۱. مقایسه‌ی نتیجه‌های به‌دست آمده برای مودشپ نانوصفحه‌ی اول، برای مقدارهای مختلفی از مرتبه‌ی جابجایی عرضی، برای سیستم تشکیل شده از نانوصفحه‌های دایره‌ای.
- شکل ۵-۱۲. مقایسه‌ی نتیجه‌های به‌دست آمده برای مودشپ نانوصفحه‌ی دوم، برای مقدارهای مختلفی از مرتبه‌ی جابجایی عرضی، برای سیستم تشکیل شده از نانوصفحه‌های دایره‌ای.
- شکل ۵-۱۳. مقایسه‌ی نتیجه‌های به‌دست آمده برای مودشپ نانوصفحه‌ی اول، برای مقدارهای مختلفی از مرتبه‌ی جابجایی عرضی، برای سیستم تشکیل شده از نانوصفحه‌های حلقه‌ای.

- شکل ۵-۱۴. مقایسه‌ی نتیجه‌های به‌دست آمده برای مودشیپ نانوصفحه‌ی دوم، برای
مقدارهای مختلفی از مرتبه‌ی جابجایی عرضی، برای سیستم تشکیل شده از نانوصفحه‌های
حلقه‌ای.
- شکل ۵-۱۵. مقایسه‌ی نتیجه‌های به‌دست آمده برای مودشیپ نانوصفحه‌ی اول، برای
مقدارهای مختلفی از پارامتر غیرمحلی، برای سیستم تشکیل شده از نانوصفحه‌های دایره-
ای.
- شکل ۵-۱۶. مقایسه‌ی نتیجه‌های به‌دست آمده برای مودشیپ نانوصفحه‌ی دوم، برای
مقدارهای مختلفی از پارامتر غیرمحلی، برای سیستم تشکیل شده از نانوصفحه‌های دایره-
ای.
- شکل ۵-۱۷. مقایسه‌ی نتیجه‌های به‌دست آمده برای مودشیپ نانوصفحه‌ی اول، برای
مقدارهای مختلفی از پارامتر غیرمحلی، برای سیستم تشکیل شده از نانوصفحه‌های حلقه-
ای.
- شکل ۵-۱۸. مقایسه‌ی نتیجه‌های به‌دست آمده برای مودشیپ نانوصفحه‌ی دوم، برای
مقدارهای مختلفی از پارامتر غیرمحلی، برای سیستم تشکیل شده از نانوصفحه‌های حلقه-
ای.

فصل اوّل :

مقدمه

۱-۱- مروری بر کارهای گذشته

برای انجام طراحی بهینه، وسیله‌ها و قطعه‌های کامپوزیت نانومقیاس [۱-۳]، باید اثرهای مقیاس کوچک و نیروهای بین‌اتمی، در تحلیل مؤلفه‌های نانومقیاس (نانو لوله‌های کربنی، گرافن) تاثیر داده شود تا نتایج تحلیل‌های مورد نظر، از دقت قابل قبولی برخوردار شود. در مقیاس کوچک، تاثیر اندازه نانو سازه‌ها در تغییرات پارامترهای حرکت ارتعاشی آن‌ها، گاهاً برجسته است. نتایج شبیه‌سازی‌های اتمی و تجربی نشان داده است که در مقیاس کوچک، بین اثرهای اندازه سازه و خاصیت‌های مکانیکی آن، رابطه‌ای مفهومی برقرار است به گونه‌ای که چشم‌پوشی از این اثرها و نیروهای بین‌اتمی، باعث می‌شود نتایج حل‌ها، و در نتیجه، طراحی‌های انجام گرفته، کاملاً اشتباه باشد. اگرچه روش‌های اتمی مانند شبیه‌سازی مکانیک مولکولی [۴]، می‌توانند این اثرها و نیروهای بین اتمی را ثبت کنند، اما استفاده از این روش‌ها، از نظر حجم محاسبات، به دلیل زیاد بودن تعداد اتم‌ها، مقرون به صرفه نمی‌باشد. بنابراین تحلیل‌های مورد نظر، با استفاده از مکانیک کلاسیک [۵] انجام می‌گرفت. اگرچه روش مکانیک کلاسیک حل‌های منطقی ارائه می‌کند، اثرهای مقیاس-کوچک و نیروهای بین‌اتمی را در نظر نمی‌گیرد. بنابراین، ممکن نیست که این روش، برای تحلیل سازه‌های نانومقیاس، قابل اطمینان باشد.

اخیراً، تئوری الاستیسیته غیرمحلّی [۶]، که دربرگیرنده اثرهای مقیاس کوچک و نیروهای بین اتمی می‌باشد، مورد استفاده قرار می‌گیرد. این تئوری برای سازه‌های مختلفی در مقیاس نانو، به کار برده شده است [۷-۱۵]. در مقاله‌های ارائه شده نشان داده شده است که نتایج به دست آمده برای سازه‌های نانومقیاس، با استفاده از این تئوری، قابل اطمینان می‌باشند. با استفاده از این تئوری، تحقیق‌های بسیار زیادی پیرامون سازه‌های نانومقیاس یک‌بعدی صورت گرفته است. در مقایسه با سازه‌های نانومقیاس یک بعدی، مانند نانوتیرها و نانومیله‌ها، تحقیق‌های محدودی پیرامون نانوصفحه‌ها [۱۱-۱۵] ارائه شده است. این در حالی است که نانوصفحه‌ها، مانند صفحه گرافن، در مقایسه با سازه‌های غیرمحلّی نانومقیاس یک بعدی، دارای خاصیت‌های

ممتازی می‌باشند. نانوصفحه‌ها، مانند گرافن، از جمله اجزای برجسته، در تولید وسیله‌های نانو الکترونیکی خواهند بود. گزارش‌های ارائه شده نشان می‌دهد که این اجزاء در حسگرهای کرنش، جرم، فشار، تشخیص - دهنده‌های غبارهای اتمی و غیره استفاده شده‌اند. [۹]

تحقیق‌های صورت گرفته در زمینه‌ی صفحه‌های گرافن، شامل بررسی رفتارهای ارتعاشی صفحه‌های گرافن یک‌لایه و چندلایه می‌باشند. سازه‌های بسیاری را می‌توان به صورت سازه‌های نانوکامپوزیت مدل‌سازی کرد. سیستم‌های پیچیده نانوصفحه، کاربرد بسیاری در سیستم‌های اویتمکانیکی دارند [۱۰]. گزارش شده است [۱۱] که بررسی ارتعاش عرضی سیستم دونانوصفحه‌ای متصل به هم توسط محیط الاستیک غیرخطی، به دلیل‌های تئوری و عملی بسیار مهم می‌باشد. به علاوه، سیستم پیچیده نانوصفحه، می‌تواند در نانو سنسورها و نانوکامپوزیت‌ها، کاربرد فراوانی داشته باشند. مشخصه‌های ارتعاشی سیستم‌های نانومقیاس، می‌توانند بسیار مهم‌تر از عملکرد سازه‌های آن‌ها، باشند [۱۲]. از این رو، بررسی ارتعاشی سیستم‌های ذکر شده، از اهمیت بالایی برخوردار است. رفتار ارتعاشی سیستم مورد نظر، با تغییر فنریّت محیط الاستیک، تغییر می‌کند. در حال حاضر هیچ تحقیقی درباره‌ی رفتار ارتعاشی سیستم تشکیل شده از دو نانوصفحه دایره‌ای شکل متصل به هم توسط محیط الاستیک غیرخطی، انجام نشده است. بنابراین، براساس توضیح‌های بالا، بررسی این رفتارها و یافتن مدل ریاضی مناسب برای چنین پدیده‌هایی از اهمیت بالایی برخوردار است.

فصل دوم :

فرمول بندی مسأله

۲-۱- مروری بر تئوری الاستیسیته غیرمحلّی

در تئوری الاستیسیته غیرمحلّی، با در نظر گرفتن تنش در یک نقطه، به عنوان تابعی از کرنش در تمامی نقطه محدود مورد نظر، اثرهای مقیاس کوچک در مدل سازی لحاظ می‌شوند. این تئوری، محدوده وسیعی از برهم کنش های بین اتمی را در نظر می‌گیرد و با توجه به آن، نتیجه‌هایی وابسته به اندازه جسم، ارائه می‌کند. بر اساس این تئوری، معادله‌های اساسی برای یک جسم غیرمحلّی الاستیک همگن ایزوتروپیک خطی را، با صرف نظر از نیروهای حجمی، می‌توان به صورت زیر بیان کرد [۸]

$$\sigma_{ij,j} = 0 \quad (2-1)$$

$$\sigma_{ij}(\mathbf{x}) = \int_V \phi(|\mathbf{x} - \mathbf{x}'|, \alpha) t_{ij} dV(\mathbf{x}'), \forall \mathbf{x} \in V$$

$$t_{ij} = H_{ijkl} \varepsilon_{kl}$$

$$\varepsilon_{ij} = \frac{1}{2} (u_{i,j} + u_{j,i})$$

که در این رابطه، عبارت‌های σ_{ij} ، t_{ij} ، ε_{ij} و H_{ijkl} به ترتیب، تنش غیرمحلّی، تنش کلاسیک، کرنش کلاسیک و تانسور مرتبه چهارم الاستیسیته می‌باشند. انتگرال موجود در رابطه (۲-۱)، در محدوده‌ی حجم V ، که توسط جسم اشغال شده است، اعمال می‌شود. معادله (۲-۱)، تنش غیرمحلّی و تنش کلاسیک را به هم مربوط می‌سازد. تابع کرنل $\phi(|\mathbf{x} - \mathbf{x}'|, \alpha)$ ، مدول غیرمحلّی است. مدول غیرمحلّی، به عنوان یک تابع انحطاط^۳ می‌باشد که اثر کرنش نقطه‌ی \mathbf{x}' بر تنش در نقطه‌ی مرجع \mathbf{x} را نمایش می‌دهد. عبارت $|\mathbf{x} - \mathbf{x}'|$ ، فاصله‌ی اقلیدسی و α ، یک ثابت مربوط به ماده‌ی سازنده، که وابسته به ساختار داخلی مانند پارامتر شبکه‌بندی، اندازه دانه‌بندی، فاصله‌ی بین نوارهای کربن و پارامترهای خارجی مانند طول ترک و طول موج می‌باشد. ثابت ماده یاد شده را می‌توان به صورت $\alpha = \frac{e_0 a}{l}$ تعریف کرد. در این رابطه، e_0 ، ثابت

³ attenuation function

کالیبراسیون نتایج بدست آمده با آزمایش‌ها و سایر مدل‌های معتبر می‌باشد. پارامتر کالیبراسیون یادشده، به صورتی تخمین زده می‌شود که رابطه‌های حاکم بر مدل الاستیسیته غیرمحلی، تقریب خوبی از منحنی پخش^۴ موج‌های صفحه‌ای که به وسیله‌ی دینامیک شبکه‌بندی اتمی^۵ [۴] به دست آمده است، باشد. عبارت های a و l ، پارامترهای داخلی و خارجی سازه‌ی نانومقیاس می‌باشند.

رابطه‌ی (۲-۱)، یک فرم انتگرالی است و حلّ تحلیلی آن بسیار دشوار است. بنابراین، معمولاً از فرم دیفرانسیلی معادله‌های الاستیسیته غیرمحلی، استفاده می‌شود. بر اساس رابطه‌های ارینگن، عبارت مدول غیرمحلی را می‌توان به صورت زیر بیان نمود [۸]:

$$\phi(|\mathbf{x}|, \alpha) = (2\pi l^2 \alpha^2)^{-1} K_0 \left(\frac{\sqrt{\mathbf{x} \cdot \mathbf{x}}}{l\alpha} \right) \quad (2-2)$$

که در این رابطه، K_0 تابع بسل تعمیم یافته است.

معادله‌ی حرکت را می‌توان با استفاده از رابطه‌ی بالا، به صورت زیر بازنویسی کرد:

$$\sigma_{ij,j} = \rho \ddot{u}_i \quad (2-3)$$

که در این رابطه، ρ و \ddot{u}_i ، به ترتیب، مؤلفه‌های چگالی جرمی و بردار شتاب می‌باشند. زیرنویس‌های i و j ، به نماد های r ، θ و z اشاره دارند.

با در نظر گرفتن تابع کرنل، به عنوان تابع گرین، ارینگن رابطه‌ی دیفرانسیلی زیر را پیشنهاد کرد [۸]:

$$\sigma_{ij,j} - \mathcal{L}(\rho \ddot{u}_i) = 0 \quad (2-4)$$

که در این رابطه:

$$\mathcal{L} = [1 - (e_0 a)^2 \nabla^2] \quad (2-5)$$

و همچنین بیان گر عملگر لاپلاس برای مسأله‌ی متقارن محوری و به صورت زیر می‌باشد:

⁴ Dispersion curves

⁵ Atomistic lattice dynamics

$$\nabla^2 = \frac{\partial^2}{\partial r^2} + \frac{1}{r} \frac{\partial}{\partial r} \quad (۶ - ۲)$$

با استفاده از رابطه‌ی (۲ - ۴)، رابطه‌ی تنش-کرنش غیرمحلی به صورت زیر ساده می‌شود:

$$[1 - \alpha^2 l^2 \nabla^2] \sigma_{ij} = t_{ij} \quad (۷ - ۲)$$

با به کار بردن رابطه‌ی تنش-کرنش غیرمحلی، معادله‌ی حرکت آزاد متقارن محوری یک نانوصفحه‌ی دایره‌ای

می‌تواند به صورت زیر بیان شود [۱۵]:

$$\frac{D}{(1 - (e_0 a)^2 \nabla^2)} \nabla^4 w(r, t) + \rho h \ddot{w}(r, t) = 0 \quad (۸ - ۲)$$

که در این رابطه داریم:

$$\nabla^4 = \nabla^2 (\nabla^2) = \frac{\partial^4}{\partial r^4} + \frac{2}{r} \frac{\partial^3}{\partial r^3} - \frac{1}{r^2} \frac{\partial^2}{\partial r^2} + \frac{1}{r^3} \frac{\partial}{\partial r} \quad (۹ - ۲)$$

و W به تغییر شکل صفحه‌ی غیرمحلی اشاره دارد. عبارت‌های D و ρ به ترتیب، سختی خمشی و چگالی

صفحه‌ی غیرمحلی می‌باشند.

فصل سوم :

فرمول بندی نهایی

۳-۱- معادله‌های حرکت آزاد سیستم تشکیل شده از دو نانوصفحه دایره‌ای متصل به هم توسط

محیط الاستیک غیر خطی

سیستم دونانوصفحه‌ای دایره‌ای، در شکل ۱-۱ نشان داده شده است. دو نانوصفحه‌ی این سیستم، به نام‌های نانوصفحه‌ی ۱ و نانوصفحه‌ی ۲ نامگذاری شده‌اند. این دو نانوصفحه توسط یک محیط الاستیک غیرخطی مرتبه‌ی سوم، به هم متصل شده‌اند. با استفاده از تغییر متغیر، معادله‌های حاکم بر این سیستم بدست می‌آید. برای مدل کردن ریاضی مسأله، می‌توان فرض کرد که دو نانوصفحه، توسط فنرهای عمودی پیوسته‌ی غیرخطی وینکلر-پسترناک به هم مرتبط شده‌اند. در حقیقت، این فنرها می‌توانند جایگزین محیط الاستیک غیرخطی شوند. نیروهای بین دو نانوصفحه ناشی از اثرهای نانوآپتومکانیکی [۱۰] و یا نیروهای ون‌دروالس می‌باشند. ضریب سختی خطی این فنرها، k_1 و ضریب غیرخطی سختی آن‌ها، k_2 در نظر گرفته شده است. در این تحقیق، از مقادیر مختلفی برای این ضریب‌های سختی استفاده شده است. به صورت کلی، دو نانوصفحه، شعاع، جرم و صلبیت خمشی متفاوتی دارند. این ضریب‌ها را می‌توان به ترتیب با عبارت‌های R_i ، m_i و D_i مشخص کرد به گونه‌ای که $i = 1, 2$. این پارامترها برای هر یک از نانوصفحه‌ها بصورت ثابت در نظر گرفته شده است. جابجایی خمشی متقارن محوری برای هر یک از نانوصفحه‌ها، به ترتیب با عبارت‌های $w_1(r, t)$ و $w_2(r, t)$ نمایش داده شده است.

با توجه به شکل ۱-۱ و با استفاده از معادله‌ی غیرمحلّی برای نانوصفحه، یعنی معادله‌ی (۲-۸)، معادله‌های حاکم بر هر یک از نانوصفحه‌ها را می‌توان به صورت زیر بیان نمود:

نانوصفحه‌ی ۱:

$$\frac{D_1}{(1 - (e_0 a)^2 \nabla^2)} \nabla^4 w_1 + \rho_1 h_1 \ddot{w}_1 + (w_1 - w_2) k_1 + (w_1 - w_2)^3 k_2 = 0 \quad (1-3)$$

نانوصفحه‌ی ۲:

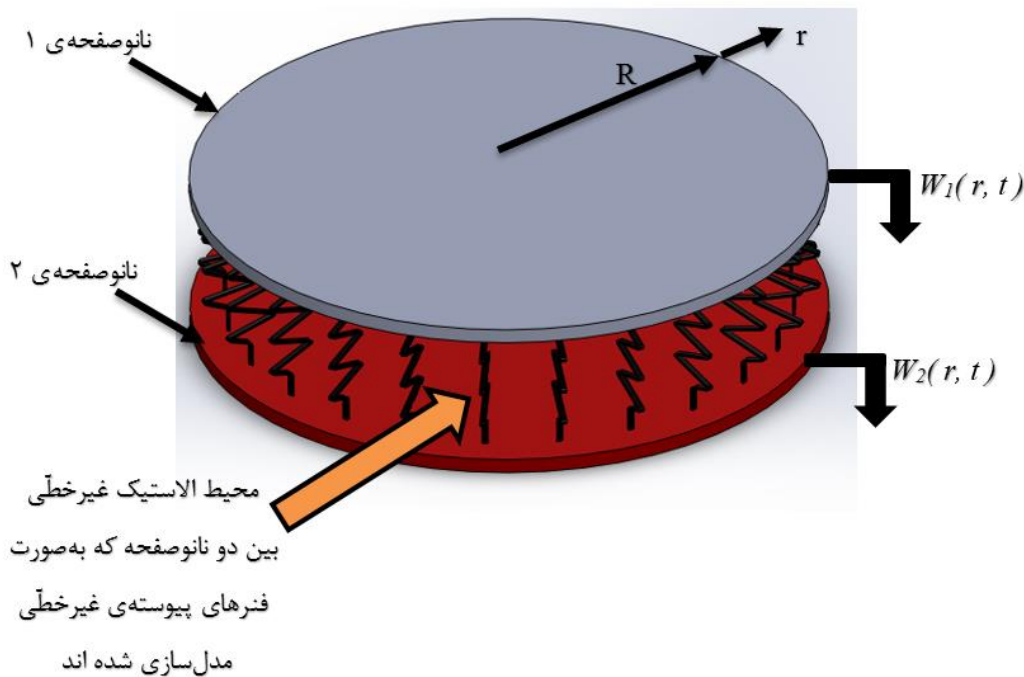
$$\frac{D_2}{(1 - (e_0 a)^2 \nabla^2)} \nabla^4 w_2 + \rho_2 h_2 \ddot{w}_2 + (w_2 - w_1) k_1 + (w_2 - w_1)^3 k_2 = 0 \quad (2 - 3)$$

در معادله‌های بالا:

$$\ddot{w}_i = \frac{\partial^2 w_i}{\partial t^2} \quad (3 - 3)$$

$$D_i = \frac{E_i h_i^3}{12(1 - \nu_i^2)} \quad (4 - 3)$$

هم‌چنین عبارت‌های E_i, h_i و به ترتیب بیان‌گر مدول یانگ، ضخامت نانوصفحه و ضریب پواسن نانوصفحه می‌باشند.



شکل ۱-۱ مدل سیستم دو نانوصفحه‌ای دایره‌ای شکل متصل به هم توسط محیط الاستیک غیرخطی

برای تحلیل موردنظر، فرض شده است که:

$$D_1 = D_2 = D \equiv \text{ثابت} \quad (5 - 3)$$

$$\rho_1 h_1 = \rho_2 h_2 = \rho h \equiv \text{ثابت}$$

پس از استفاده از رابطه بالا، می‌توان معادله‌های حاکم بر نانوصفحه‌ها را به صورت زیر بازنویسی کرد:

$$\frac{D}{(1 - (e_0 a)^2 \nabla^2)} \nabla^4 w_1 + \rho h \ddot{w}_1 + (w_1 - w_2) k_1 + (w_1 - w_2)^3 k_2 \quad (6 - 3)$$

$$= 0$$

$$\frac{D}{(1 - (e_0 a)^2 \nabla^2)} \nabla^4 w_2 + \rho h \ddot{w}_2 + (w_2 - w_1) k_1 + (w_2 - w_1)^3 k_2 \quad (7 - 3)$$

$$= 0$$

در ادامه با معرفی پارامتر $w(r, t)$ با عنوان جابجایی نسبی نانوصفحه‌ی ۱ نسبت به نانوصفحه‌ی ۲ خواهیم داشت:

$$w(r, t) = w_1(r, t) - w_2(r, t) \quad (8 - 3)$$

پس از کسر کردن رابطه‌ی (۶ - ۳) از رابطه‌ی (۷ - ۳) و استفاده از رابطه‌ی (۸ - ۳)، معادله‌های حاکم بر مسأله را به صورت زیر می‌توان بازنویسی کرد:

$$\frac{D}{(1 - (e_0 a)^2 \nabla^2)} \nabla^4 w(r, t) + \rho h \ddot{w}(r, t) + 2k_1 w(r, t) \quad (9 - 3)$$

$$+ 2k_2 w^3(r, t) = 0$$

$$\frac{D}{(1 - (e_0 a)^2 \nabla^2)} \nabla^4 w_1(r, t) + \rho h \ddot{w}_1(r, t) \quad (10 - 3)$$

$$= -k_1 w(r, t) - k_2 w^3(r, t)$$

مشاهده می‌شود که با چشم‌پوشی از عبارت غیرمحملی، یعنی $e_0 a$ ، معادله‌های فوق به معادله‌های کلاسیک

آزاد از مقیاس تئوری صفحه‌ی کیرشهف تبدیل می‌شوند.

در ادامه کمیت‌های بی‌بعد، به صورت زیر تعریف می‌شود:

$$w^* = \frac{w}{R}, \quad w_1^* = \frac{w_1}{R}, \quad r^* = \frac{r}{R}, \quad t^* = \frac{th}{R^2} \sqrt{\frac{E}{12\rho(1-\nu^2)}}, \quad (11-3)$$

$$\gamma = \frac{e_0 a}{R}$$

با استفاده از کمیت‌های یادشده، معادله‌های حاکم را، پس از حذف علامت ستاره، می‌توان به صورت زیر

بازنویسی کرد:

$$\nabla^4 w(r, t) + \frac{\partial^2}{\partial t^2} [w(r, t) - \gamma^2 \nabla^2 w(r, t)] \quad (12-3)$$

$$+ \alpha_1 [w(r, t) - \gamma^2 \nabla^2 w(r, t)] \\ + \alpha_2 [w^3(r, t) - \gamma^2 \nabla^2 w^3(r, t)] = 0$$

$$\nabla^4 w_1(r, t) + \frac{\partial^2}{\partial t^2} [w_1(r, t) - \gamma^2 \nabla^2 w_1(r, t)] \quad (13-3)$$

$$= -\alpha_1 [w(r, t) - \gamma^2 \nabla^2 w(r, t)] \\ - \alpha_2 [w^3(r, t) - \gamma^2 \nabla^2 w^3(r, t)]$$

که در رابطه‌ی بالا:

$$\alpha_1 = \frac{24R^4 k_1 (1 - \nu^2)}{Eh^3} \quad (14-3)$$

$$\alpha_2 = \frac{24R^6 k_2 (1 - \nu^2)}{Eh^3} \quad (15-3)$$

فصل چهارم :

حل معادله‌های حاکم بر

مسأله

۴-۱- حل دستگاه معادله‌های حاکم بر مسأله

برای حل دستگاه معادله‌های حاکم بر مسأله، از روش مقیاس‌های چندگانه [۱۶]، استفاده می‌شود. پاسخ معادله‌های (۳-۱۲) و (۳-۱۳)، به صورت زیر فرض می‌شود [۱۶-۱۷]:

$$\begin{aligned} w(r, T_0, T_1, T_2) & \quad (۴-۱) \\ &= X(r, T_0, T_1, T_2)\epsilon + Y(r, T_0, T_1, T_2)\epsilon^2 \\ &+ Z(r, T_0, T_1, T_2)\epsilon^3 \end{aligned}$$

$$\begin{aligned} w_1(r, T_0, T_1, T_2) & \quad (۴-۲) \\ &= G(r, T_0, T_1, T_2)\epsilon + H(r, T_0, T_1, T_2)\epsilon^2 \\ &+ I(r, T_0, T_1, T_2)\epsilon^3 \end{aligned}$$

در این رابطه‌ها، ϵ ، یک کمیت کوچک بی بعد می‌باشد. این کمیت، همچنین، به عنوان ابزار ساماندهی معرفی شده است، به طوری که $T_0 = t$ ، مقیاس سریع زمانی بوده و حرکت‌های رخ داده در اثر فرکانس‌های طبیعی نانوصفحه را مشخص می‌کند. همچنین، $T_1 = \epsilon t$ و $T_2 = \epsilon^2 t$ ، مقیاس‌های کند زمانی هستند که انتقال فرکانس‌های نانوصفحه را، که ناشی از پارامترهای غیرخطی می‌باشد، بیان می‌کنند. مشتق‌های زمانی را می‌توان برحسب این مقیاس‌های زمانی به صورت زیر بیان نمود:

$$\frac{\partial}{\partial t} = D_0 + \epsilon D_1 + \epsilon^2 D_2 + \dots \quad (۴-۳)$$

که در رابطه‌ی بالا:

$$D_n = \frac{\partial}{\partial T_n} \quad (۴-۴)$$

پس از جایگذاری رابطه‌های (۴-۱)، (۴-۲) و (۴-۳) در معادله‌های (۳-۱۲) و (۳-۱۳) و مساوی قرار دادن ضریب‌های هم‌توان از کمیت ϵ در دو طرف این معادله‌ها، دو دسته معادله بدست می‌آید. هریک از این دسته‌ها، دارای سه معادله می‌باشند. برای حل این معادله‌ها، ابتدا باید دسته‌ی اول معادله‌ها

حل شود و در ادامه، پس از جایگذاری پاسخ به دست آمده در دسته‌ی دوم، به حل آن پرداخته شود. روش به کار برده شده در این جا، به این صورت است که تنها، شکل مودهای غیرخطی عمود برهم سیستم، در نظر گرفته شده است. دسته‌های معادله‌های حاکم به دست آمده را می‌توان به صورت زیر مرتب کرد:

(دسته‌ی اول معادله‌ها)

معادله‌ی مرتبه‌ی ϵ :

$$\nabla^4 X + D_0^2 [X - \gamma^2 \nabla^2 X] + \alpha_1 [X - \gamma^2 \nabla^2 X] = 0 \quad (5 - 4)$$

معادله‌ی مرتبه‌ی ϵ^2 :

$$\begin{aligned} \nabla^4 Y + D_0^2 [Y - \gamma^2 \nabla^2 Y] + \alpha_1 [Y - \gamma^2 \nabla^2 Y] \\ = -2D_0 D_1 [X - \gamma^2 \nabla^2 X] \end{aligned} \quad (6 - 4)$$

معادله‌ی مرتبه‌ی ϵ^3 :

$$\begin{aligned} \nabla^4 Z + D_0^2 [Z - \gamma^2 \nabla^2 Z] + \alpha_1 [Z - \gamma^2 \nabla^2 Z] \\ = -2D_0 D_1 [Y - \gamma^2 \nabla^2 Y] \\ - (2D_0 D_2 + D_1^2) [X - \gamma^2 \nabla^2 X] \\ - \alpha_2 \left[X^3 - \gamma^2 \left[3X^2 \frac{\partial^2 X}{\partial r^2} + 6X \left(\frac{\partial X}{\partial r} \right)^2 \right] \right. \\ \left. - \frac{3\gamma^2 X^2 \left[\frac{\partial X}{\partial r} \right]}{r} \right] \end{aligned} \quad (7 - 4)$$

(دسته‌ی دوم معادله‌ها)

معادله‌ی مرتبه‌ی ϵ :

$$\nabla^4 G + D_0^2 [G - \gamma^2 \nabla^2 G] = -\alpha_1 [X - \gamma^2 \nabla^2 X] \quad (۴ - ۸)$$

معادله‌ی مرتبه‌ی ϵ^2 :

$$\begin{aligned} \nabla^4 H + D_0^2 [H - \gamma^2 \nabla^2 H] & \quad (۴ - ۹) \\ & = -\alpha_1 [Y - \gamma^2 \nabla^2 Y] - 2D_0 D_1 [G - \gamma^2 \nabla^2 G] \end{aligned}$$

معادله‌ی مرتبه‌ی ϵ^3 :

$$\begin{aligned} \nabla^4 I + D_0^2 [I - \gamma^2 \nabla^2 I] & \quad (۴ - ۱۰) \\ & = -\alpha_1 [Z - \gamma^2 \nabla^2 Z] - 2D_0 D_1 [H - \gamma^2 \nabla^2 H] \\ & \quad - (2D_0 D_2 + D_1^2) [G - \gamma^2 \nabla^2 G] \\ & \quad - \alpha_2 \left[X^3 - \gamma^2 \left[3X^2 \frac{\partial^2 X}{\partial r^2} + 6X \left(\frac{\partial X}{\partial r} \right)^2 \right] \right. \\ & \quad \left. - \frac{3\gamma^2 X^2 \left[\frac{\partial X}{\partial r} \right]}{r} \right] \end{aligned}$$

۴-۲- روند حل دسته‌ی معادله‌های اول

برای استخراج n امین شکل مود غیرخطی، پاسخ مسأله‌ی مرتبه اول، یعنی معادله‌ی (۴ - ۵)، به صورت زیر در نظر گرفته می‌شود [۱۷]:

$$X = \xi(r) A_n(T_1, T_2) e^{i\omega_n T_0} + cc \quad (۴ - ۱۱)$$

در این رابطه، عبارت cc به مؤلفه‌های مختلط مزدوج عبارتهای نوشته شده، اشاره دارد. همچنین، A_n ، تابع مقیاس‌های زمانی T_1 و T_2 می‌باشد که با اعمال شرایط حل‌پذیری در مرحله‌های بعدی فرآیند حل، تعیین

می‌شود. تابع ξ تابعی از r می‌باشد. پس از جایگذاری رابطه‌ی پاسخ مرتبه‌ی اول ارائه شده در معادله‌ی (۴ - ۵)، نتیجه می‌شود:

$$\nabla^2(\nabla^2\xi) + \Gamma^2\nabla^2\xi - \Sigma^4\xi = 0 \quad (۴ - ۱۲)$$

به‌گونه‌ای که:

$$\Gamma^2 = \gamma^2(\omega_n^2 - \alpha_1) \quad (۴ - ۱۳)$$

و

$$\Sigma^4 = (\omega_n^2 - \alpha_1) \quad (۴ - ۱۴)$$

معادله‌ی (۴ - ۱۲)، معادله‌ی مشخصه‌ی اول سیستم دو نانوصفحه‌ای موردنظر می‌باشد. با استفاده از این معادله، می‌توان برخی از فرکانس‌های طبیعی خطی سیستم یادشده را محاسبه کرد.

پاسخ معادله‌ی (۴ - ۱۲)، را می‌توان به‌صورت زیر بیان نمود:

$$\xi(r) = C_1 J_0(\Psi r) + C_2 J_0(\Phi r) + C_3 Y_0(\Psi r) + C_4 Y_0(\Phi r) \quad (۴ - ۱۵)$$

که در این ضریب‌های C_i ، عددهای ثابتی هستند و همچنین:

$$\Psi = \frac{1}{2} \sqrt{2\Gamma^2 + 2\sqrt{(\Gamma^2 - 2\Gamma\Sigma + 2\Sigma^2)(\Gamma^2 + 2\Gamma\Sigma + 2\Sigma^2)}} \quad (۴ - ۱۶)$$

$$\Phi = \frac{1}{2} \sqrt{2\Gamma^2 - 2\sqrt{(\Gamma^2 - 2\Gamma\Sigma + 2\Sigma^2)(\Gamma^2 + 2\Gamma\Sigma + 2\Sigma^2)}} \quad (۴ - ۱۷)$$

در رابطه‌ی (۴ - ۱۵)، توابع J_0 و Y_0 ، تابع‌های تعمیم یافته بسل نوع اول و دوم می‌باشند. با داشتن معادله‌ی

(۴ - ۱۵)، می‌توان پاسخ کلی معادله‌ی (۴ - ۵)، را به‌صورت زیر بازنویسی کرد:

$$X = [C_1 J_0(\Psi r) + C_2 J_0(\Phi r) + C_3 Y_0(\Psi r) + C_4 Y_0(\Phi r)] A_n(T_1, T_2) e^{i\omega_n T_0} + cc \quad (۴ - ۱۸)$$

۴-۲-۱- اعمال شرایط مرزی گیردار برای نانوصفحه‌های دایره‌ای

سیستم تشکیل شده از دو نانوصفحه‌ی دایره‌ای مانند شکل ۱-۱ در نظر گرفته می‌شود. همان‌گونه که در این شکل مشاهده می‌شود، شعاع هر یک از نانوصفحه‌ها با R نمایش داده شده است. مرکز سیستم مختصات قطبی مورد استفاده، در مرکز نانوصفحه‌ی دایره‌ای قرار داده شده است. شرایط مرزی سیستم موردنظر به‌صورتی است که محیط بیرونی هر یک از نانوصفحه‌ها، مقید به قید گیردار می‌باشد. در این صورت، هر دو تابع بسل $Y_0(\Psi r)$ و $Y_0(\Phi r)$ ، در موقعیت مرکز نانوصفحه، مقداری نامشخص دارند. بنابراین ضریب‌های C_3 و C_4 برابر با صفر می‌باشند.

با توجه به توضیح‌های بالا، شرایط مرزی گیردار را می‌توان به‌صورت زیر بیان نمود:

$$\xi(r)_{r=1} = 0 \quad (۴-۱۹)$$

$$\frac{\partial \xi(r)}{\partial r} \Big|_{r=1} = 0 \quad (۴-۲۰)$$

پس از قرار دادن رابطه‌ی (۴-۱۸)، در رابطه‌های (۴-۱۹) و (۴-۲۰) خواهیم داشت:

$$C_1 J_0(\Psi) + C_2 J_0(\Phi) = 0 \quad (۴-۲۱)$$

$$C_1 \Psi J_1(\Psi) + C_2 \Phi J_1(\Phi) = 0 \quad (۴-۲۲)$$

معادله‌های بالا را می‌توان به‌صورت زیر به فرم ماتریسی نوشت:

$$\begin{bmatrix} J_0(\Psi) & J_0(\Phi) \\ \Psi J_1(\Psi) & \Phi J_1(\Phi) \end{bmatrix} \begin{bmatrix} C_1 \\ C_2 \end{bmatrix} = \begin{bmatrix} 0 \\ 0 \end{bmatrix} \quad (۴-۲۳)$$

برای داشتن جواب غیربدیهی، باید دترمینان ماتریس ضریب‌های معادله‌ی بالا صفر باشد. بنابراین:

$$\begin{vmatrix} J_0(\Psi) & J_0(\Phi) \\ \Psi J_1(\Psi) & \Phi J_1(\Phi) \end{vmatrix} = 0 \quad (۴-۲۴)$$

رابطه‌ی (۴۸)، معادله‌ی فرکانسی اوّل سیستم یادشده را، به صورت زیر، فراهم می‌کند:

$$\Phi J_0(\Psi) J_1(\Phi) - \Psi J_1(\Psi) J_0(\Phi) = 0 \quad (۴ - ۲۵)$$

برخی از فرکانس‌های خطّی سیستم از معادله‌ی بالا بدست می‌آید.

برای به دست آوردن شکل مودها، با استفاده از رابطه‌ی ماتریسی (۴ - ۲۳)، می‌توان نوشت:

$$\frac{C_2}{C_1} = -\frac{J_0(\Psi)}{J_0(\Phi)} \quad (۴ - ۲۶)$$

بنابراین:

$$X = \left[J_0(\Psi r) - \frac{J_0(\Psi)}{J_0(\Phi)} J_0(\Phi r) \right] A_n(T_1, T_2) e^{i\omega_n T_0} + cc \quad (۴ - ۲۷)$$

۴-۲-۲- اعمال شرایط مرزی گیردار برای نانوصفحه‌های حلقه‌ای

در این حالت، دو المان تشکیل‌دهنده‌ی سیستم نانومقیاس موردنظر، به صورت حلقه‌ای در نظر گرفته می‌شود.

شعاع داخلی هر یک از نانوصفحه‌ها را R' و شعاع خارجی آن‌ها را R در نظر می‌گیریم. مرکز سیستم مختصات قطبی مورد استفاده، در مرکز نانوصفحه‌ی حلقه‌ای، قرار داده شده است. شرایط مرزی سیستم موردنظر به صورتی است که محیط داخلی و بیرونی هر یک از نانوصفحه‌ها، مقید به قید گیردار می‌باشد. در این صورت با توجه به توضیح‌های بالا، شرایط مرزی گیردار را می‌توان به صورت زیر بیان نمود:

$$\xi(r)_{r=1} = \xi(r)_{r=\frac{R'}{R}} = 0 \quad (۴ - ۲۸)$$

$$\frac{\partial \xi(r)}{\partial r} \Big|_{r=1} = \frac{\partial \xi(r)}{\partial r} \Big|_{r=\frac{R'}{R}} = 0 \quad (۴ - ۲۹)$$

پس از قرار دادن رابطه‌ی (۴ - ۱۸)، در رابطه‌های (۴ - ۲۸) و (۴ - ۲۹) خواهیم داشت:

$$C_1 J_0(\Psi) + C_2 J_0(\Phi) + C_3 Y_0(\Psi) + C_4 Y_0(\Phi) = 0 \quad (30 - 4)$$

$$C_1 J_0\left(\frac{R'}{R}\Psi\right) + C_2 J_0\left(\frac{R'}{R}\Phi\right) + C_3 Y_0\left(\frac{R'}{R}\Psi\right) + C_4 Y_0\left(\frac{R'}{R}\Phi\right) \quad (31 - 4)$$

$$= 0$$

$$C_1 \Psi J_1(\Psi) + C_2 \Phi J_1(\Phi) + C_3 \Psi Y_1(\Psi) + C_4 \Phi Y_1(\Phi) = 0 \quad (32 - 4)$$

$$C_1 \Psi J_1\left(\frac{R'}{R}\Psi\right) + C_2 \Phi J_1\left(\frac{R'}{R}\Phi\right) + C_3 \Psi Y_1\left(\frac{R'}{R}\Psi\right) \quad (33 - 4)$$

$$+ C_4 \Phi Y_1\left(\frac{R'}{R}\Phi\right) = 0$$

معادله‌های بالا را می‌توان به صورت زیر به فرم ماتریسی نوشت:

$$\begin{bmatrix} J_0(\Psi) & J_0(\Phi) & Y_0(\Psi) & Y_0(\Phi) \\ J_0\left(\frac{R'}{R}\Psi\right) & J_0\left(\frac{R'}{R}\Phi\right) & Y_0\left(\frac{R'}{R}\Psi\right) & Y_0\left(\frac{R'}{R}\Phi\right) \\ \Psi J_1(\Psi) & \Phi J_1(\Phi) & \Psi Y_1(\Psi) & \Phi Y_1(\Phi) \\ \Psi J_1\left(\frac{R'}{R}\Psi\right) & \Phi J_1\left(\frac{R'}{R}\Phi\right) & \Psi Y_1\left(\frac{R'}{R}\Psi\right) & \Phi Y_1\left(\frac{R'}{R}\Phi\right) \end{bmatrix} \begin{bmatrix} C_1 \\ C_2 \\ C_3 \\ C_4 \end{bmatrix} \quad (34 - 4)$$

$$= \begin{bmatrix} 0 \\ 0 \\ 0 \\ 0 \end{bmatrix}$$

برای داشتن جواب غیربدهی، باید دترمینان ماتریس ضریب‌های معادله‌ی بالا صفر باشد. بنابراین دترمینان

فرکانسی را به صورت زیر داریم:

$$\begin{vmatrix} J_0(\Psi) & J_0(\Phi) & Y_0(\Psi) & Y_0(\Phi) \\ J_0\left(\frac{R'}{R}\Psi\right) & J_0\left(\frac{R'}{R}\Phi\right) & Y_0\left(\frac{R'}{R}\Psi\right) & Y_0\left(\frac{R'}{R}\Phi\right) \\ \Psi J_1(\Psi) & \Phi J_1(\Phi) & \Psi Y_1(\Psi) & \Phi Y_1(\Phi) \\ \Psi J_1\left(\frac{R'}{R}\Psi\right) & \Phi J_1\left(\frac{R'}{R}\Phi\right) & \Psi Y_1\left(\frac{R'}{R}\Psi\right) & \Phi Y_1\left(\frac{R'}{R}\Phi\right) \end{vmatrix} = 0 \quad (35 - 4)$$

برخی از فرکانس‌های خطی سیستم تشکیل شده از دو نانوصفحه‌ی حلقه‌ای متصل به هم توسط محیط الاستیک غیرخطی، از رابطه‌ی بالا بدست می‌آید.

برای به‌دست آوردن شکل موده‌های این سیستم، با استفاده از رابطه‌ی ماتریسی (۴ - ۳۴)، می‌توان نوشت:

$$\frac{C_2}{C_1} = -\frac{J_0(\Psi)}{J_0(\Phi)} - \frac{Y_0(\Psi) \varpi_3}{J_0(\Phi) \varpi_1} \quad (۴ - ۳۶)$$

$$+ \left[\frac{\varpi_6 - \frac{\varpi_4}{\varpi_1} \varpi_3}{\varpi_5 - \frac{\varpi_4}{\varpi_1} \varpi_2} \right] \left(\frac{Y_0(\Psi) \varpi_2}{J_0(\Phi) \varpi_1} - \frac{Y_0(\Phi)}{J_0(\Phi)} \right)$$

$$\frac{C_3}{C_1} = \frac{\varpi_3}{\varpi_1} - \frac{\varpi_2}{\varpi_1} \frac{\left(\varpi_6 - \frac{\varpi_4}{\varpi_1} \varpi_3 \right)}{\left(\varpi_5 - \frac{\varpi_4}{\varpi_1} \varpi_2 \right)} \quad (۴ - ۳۷)$$

$$\frac{C_4}{C_1} = \frac{\varpi_6 - \frac{\varpi_4}{\varpi_1} \varpi_3}{\varpi_5 - \frac{\varpi_4}{\varpi_1} \varpi_2} \quad (۴ - ۳۸)$$

که در رابطه‌های بالا:

$$\varpi_1 = Y_0 \left(\frac{R'}{R} \Psi \right) - \frac{J_0 \left(\frac{R'}{R} \Phi \right)}{J_0(\Phi)} Y_0(\Psi) \quad (۴ - ۳۹)$$

$$\varpi_2 = Y_0 \left(\frac{R'}{R} \Phi \right) - \frac{J_0 \left(\frac{R'}{R} \Phi \right)}{J_0(\Phi)} Y_0(\Phi) \quad (۴ - ۴۰)$$

$$\varpi_3 = \frac{J_0 \left(\frac{R'}{R} \Phi \right)}{J_0(\Phi)} J_0(\Psi) - J_0 \left(\frac{R'}{R} \Psi \right) \quad (۴ - ۴۱)$$

$$\varpi_4 = \Psi Y_1(\Psi) - \frac{\Phi J_1(\Phi)}{J_0(\Phi)} Y_0(\Psi) \quad (۴ - ۴۲)$$

$$\varpi_5 = \Phi Y_1(\Phi) - \frac{\Phi J_1(\Phi)}{J_0(\Phi)} Y_0(\Phi) \quad (۴ - ۴۳)$$

$$\varpi_6 = \frac{\Phi J_1(\Phi)}{J_0(\Phi)} J_0(\Psi) - \Psi J_1(\Psi) \quad (4-44)$$

بنابراین، خواهیم داشت:

$$X = \left[J_0(\Psi r) + \frac{C_2}{C_1} J_0(\Phi r) + \frac{C_3}{C_1} Y_0(\Psi r) + \frac{C_4}{C_1} Y_0(\Phi r) \right] A_n(T_1, T_2) e^{i\omega_n T_0} + cc \quad (4-45)$$

پس از جایگذاری رابطه‌ی (4-11) در معادله‌ی (4-6) خواهیم داشت:

$$\nabla^4 Y + D_0^2 [Y - \gamma^2 \nabla^2 Y] + \alpha_1 [Y - \gamma^2 \nabla^2 Y] = -2i\omega_n e^{i\omega_n T_0} D_1 A_n [1 - \gamma^2 \nabla^2] \xi(r) + cc \quad (4-46)$$

پس از حذف عبارت‌های سکولار⁶ می‌توان نوشت:

$$D_1 A_n = 0 \quad (4-47)$$

معادله‌ی بالا بیان می‌کند که تابع A_n ، مستقل از مقیاس زمانی T_1 است.

پاسخ خصوصی معادله‌ی (4-46) را به صورت زیر خواهیم داشت [16]:

$$Y = 0 \quad (4-48)$$

پس از جایگذاری رابطه‌های (4-11) و (4-48) در معادله‌ی (4-7) خواهیم داشت:

⁶ Secular terms

$$\nabla^4 Z + D_0^2 [Z - \gamma^2 \nabla^2 Z] + \alpha_1 [Z - \gamma^2 \nabla^2 Z] \quad (49 - 4)$$

$$= \left\{ -2i\omega_n \dot{A}_n [\xi(r) - \gamma^2 \nabla^2 \xi(r)] \right. \\ + 3\alpha_2 A_n^2 \overline{A}_n \left(-\xi(r)^3 + \gamma^2 \xi(r)^2 \left(\frac{d^2 \xi(r)}{dr^2} \right) \right. \\ + 6\gamma^2 \xi(r) \left(\frac{d\xi(r)}{dr} \right)^2 \\ \left. \left. + \frac{3\gamma^2 \xi(r)^2 \left(\frac{d\xi(r)}{dr} \right)}{r} \right) \right\} e^{i\omega_n T_0} \\ + \alpha_2 A_n^3 \left\{ -\xi(r)^3 + 3\gamma^2 \xi(r)^2 \left(\frac{d^2 \xi(r)}{dr^2} \right) \right. \\ + 6\gamma^2 \xi(r) \left(\frac{d\xi(r)}{dr} \right)^2 \\ \left. \left. + \frac{3\gamma^2 \xi(r)^2 \left(\frac{d\xi(r)}{dr} \right)}{r} \right) \right\} e^{3i\omega_n T_0} + cc$$

در رابطه‌ی بالا، تابع \overline{A}_n ، مختلط مزدوج A_n می‌باشد و همچنین:

$$\dot{A}_n = \frac{dA_n}{dT_2} \quad (50 - 4)$$

بخش غیرهمگن معادله‌ی (۴ - ۴۹) در صورتی دارای پاسخ است که شرایط حل‌پذیری صادق باشد. این شرایط بیان می‌کند که عبارت سمت راست معادله‌ی (۴ - ۴۹) باید عمود بر پاسخ معادله‌ی اول، یعنی X ، باشد. پس از اعمال این شرایط برای معادله‌ی (۴ - ۴۹)، می‌توان نوشت:

$$-2i\omega_n \overline{A_n} \chi_2 + 3\alpha_2 A_n^2 \overline{A_n} \chi_1 = 0 \quad (۴ - ۵۱)$$

که در رابطه‌ی بالا:

$$\chi_1 = \int_0^1 \left(-\xi(r)^4 + 3\gamma^2 \xi(r)^3 \left(\frac{d^2 \xi(r)}{dr^2} \right) + 6\gamma^2 \xi(r)^2 \left(\frac{d\xi(r)}{dr} \right)^2 + \frac{3\gamma^2 \xi(r)^3 \left(\frac{d\xi(r)}{dr} \right)}{r} \right) dr \quad (۴ - ۵۲)$$

$$\chi_2 = \int_0^1 \xi(r)^2 dr \quad (۴ - ۵۳)$$

پاسخ انتگرال‌های (۴ - ۵۲) و (۴ - ۵۳) به صورت عددی و در بخش پیوست آ.جدول ۶-۱ تعیین شده‌اند. برای حل کردن معادله‌ی (۴ - ۵۱)، عبارت A_n را می‌توان به صورت زیر فرض کرد [۱۷]:

$$A_n = a \exp(ib) \quad (۴ - ۵۴)$$

در رابطه‌ی (۴ - ۵۴)، عبارت‌های a و b تابع‌هایی از مقیاس زمانی T_2 می‌باشند. پس از جایگذاری رابطه‌ی (۴ - ۵۴) در معادله‌ی (۴ - ۵۱) و جداسازی بخش‌های حقیقی و موهومی این معادله، می‌توان نوشت:

$$\dot{a} = 0 \quad (۴ - ۵۵)$$

$$2\omega_n \chi_2 \dot{b} + 3\alpha_2 \chi_1 a^2 = 0 \quad (۴ - ۵۶)$$

که در این رابطه‌ها:

$$\dot{a} = \frac{da}{dT_2} \quad (57 - 4)$$

$$\dot{b} = \frac{db}{dT_2} \quad (58 - 4)$$

رابطه‌ی (57 - 4) بیان می‌دارد که a ، عددی ثابت است. از رابطه‌ی (58 - 4) می‌توان نتیجه گرفت:

$$b = -\frac{3\alpha_2\chi_1 a^2}{2\omega_n\chi_2} T_2 + b_0 \quad (59 - 4)$$

در رابطه‌ی (55 - 4)، عبارت b_0 یک عدد ثابت است. با استفاده از رابطه‌ی (59 - 4)، می‌توان رابطه-

ی (56 - 4) را به صورت زیر بازنویسی کرد:

$$A_n = a \exp\left(-i \left[\frac{3\alpha_2\chi_1 a^2}{2\omega_n\chi_2} \right] T_2 + i b_0\right) \quad (60 - 4)$$

در نتیجه:

$$X = 2a\xi(r) \cos(\Omega_n t + b_0) \quad (61 - 4)$$

که در رابطه بالا:

$$\Omega_n = -\left[\frac{3\alpha_2\chi_1 a^2}{2\omega_n\chi_2} \right] \epsilon^2 + \omega_n \quad (62 - 4)$$

پس از جایگذاری رابطه‌های (56 - 4) و (62 - 4) در رابطه‌ی (4 - 7) می‌توان نوشت:

$$\nabla^4 Z + D_0^2 [Z - \gamma^2 \nabla^2 Z] + \alpha_1 [Z - \gamma^2 \nabla^2 Z] \quad (۶۳ - ۴)$$

$$= 3\alpha_2 A_n^2 \overline{A_n} \left\{ -\xi(r)^3 + \gamma^2 \xi(r)^2 \left(\frac{d^2 \xi(r)}{dr^2} \right) \right. \\ \left. + 6\gamma^2 \xi(r) \left(\frac{d\xi(r)}{dr} \right)^2 + \frac{3\gamma^2 \xi(r)^2 \left(\frac{d\xi(r)}{dr} \right)}{r} \right. \\ \left. - \frac{\chi_1}{\chi_2} [\xi(r) - \gamma^2 \nabla^2 \xi(r)] \right\} e^{i\omega_n T_0} \\ + \alpha_2 A_n^3 \left\{ -\xi(r)^3 + 3\gamma^2 \xi(r)^2 \left(\frac{d^2 \xi(r)}{dr^2} \right) \right. \\ \left. + 6\gamma^2 \xi(r) \left(\frac{d\xi(r)}{dr} \right)^2 \right. \\ \left. + \frac{3\gamma^2 \xi(r)^2 \left(\frac{d\xi(r)}{dr} \right)}{r} \right\} e^{3i\omega_n T_0} + cc$$

پاسخ معادله‌ی بالا را می‌توان به صورت زیر بیان کرد [۱۷]:

$$Z = \alpha_2 A^3 U(r) e^{3i\omega T_0} + 3\alpha_2 A_n^2 \overline{A_n} S(r) e^{i\omega_n T_0} + cc \quad (۶۴ - ۴)$$

در رابطه‌ی بالا، تابع‌های $U(r)$ و $S(r)$ توابعی از متغیر r می‌باشند. پس از جایگذاری رابطه بالا در معادله-

ی (۶۳ - ۴) می‌توان نوشت:

$$\begin{aligned} \nabla^4 U(r) + (\alpha_1 - 9\omega_n^2)[U(r) - \gamma^2 \nabla^2 U(r)] & \quad (۶۵ - ۴) \\ = -\xi(r)^3 + 3\gamma^2 \xi(r)^2 \left(\frac{d^2 \xi(r)}{dr^2} \right) & \end{aligned}$$

$$+ 6\gamma^2 \xi(r) \left(\frac{d\xi(r)}{dr} \right)^2 + \frac{3\gamma^2 \xi(r)^2 \left(\frac{d\xi(r)}{dr} \right)}{r}$$

$$\begin{aligned} \nabla^4 S(r) + (\alpha_1 - \omega_n^2)[S(r) - \gamma^2 \nabla^2 S(r)] & \quad (۶۶ - ۴) \\ = -\xi(r)^3 + \gamma^2 \xi(r)^2 \left(\frac{d^2 \xi(r)}{dr^2} \right) & \end{aligned}$$

$$+ 6\gamma^2 \xi(r) \left(\frac{d\xi(r)}{dr} \right)^2 + \frac{3\gamma^2 \xi(r)^2 \left(\frac{d\xi(r)}{dr} \right)}{r}$$

$$- \frac{\chi_1}{\chi_2} [\xi(r) - \gamma^2 \nabla^2 \xi(r)]$$

پاسخ معادله‌های (۶۵ - ۴) و (۶۶ - ۴)، به صورت عددی و در بخش پیوست آ. جدول‌های ۲-۶ و ۳-۶ تعیین شده‌اند.

پس از جایگذاری رابطه‌های (۴۸ - ۴)، (۶۱ - ۴) و (۶۴ - ۴) در رابطه‌ی (۱ - ۴) می‌توان نوشت:

$$\begin{aligned} w = 2a\{\xi(r) \cos(\Omega_n t + b_0)\}\epsilon & \quad (۶۷ - ۴) \\ + 2\alpha_2 a^3 \{U(r) \cos(3\Omega_n t + 3b_0)\} & \\ + 3S(r) \cos(\Omega_n t + b_0)\}\epsilon^3 & \end{aligned}$$

۴-۳- روند حل دسته‌ی معادله‌های دوم

پاسخ معادله‌ی (۸ - ۴)، را می‌توان به صورت زیر در نظر گرفت [۱۷]:

$$G = P(r)Q_n(T_1, T_2)e^{i\delta_n T_0} + \alpha_1 A_n h(r)e^{i\omega_n T_0} + cc \quad (۶۸ - ۴)$$

در این رابطه، تابع‌های $P(r)$ و $h(r)$ ، توابعی از متغیر r هستند. $Q_n(T_1, T_2)$ تابعی از مقیاس‌های زمانی

T_1 و T_2 می‌باشد که با اعمال شرایط حل‌پذیری در مرحله‌های بعدی فرآیند حل، تعیین می‌شود. پس از

جایگذاری رابطه‌ی (۴ - ۶۸) در معادله‌ی (۴ - ۸)، مسأله‌های مقدار مرزی زیر را برای عبارتهای P و h می‌توان نوشت:

$$\nabla^4 P(r) - \delta_n^2 [P(r) - \gamma^2 \nabla^2 P(r)] = 0 \quad (۴ - ۶۹)$$

$$\nabla^4 h(r) - \omega_n^2 [h(r) - \gamma^2 \nabla^2 h(r)] = [\xi(r) - \gamma^2 \nabla^2 \xi(r)] \quad (۴ - ۷۰)$$

پاسخ معادله‌ی (۴ - ۶۹)، را می‌توان به صورت زیر در نظر گرفت:

$$P(r) = C_5 J_0(\varphi r) + C_6 J_0(\tau r) + C_7 Y_0(\varphi r) + C_8 Y_0(\tau r) \quad (۴ - ۷۱)$$

که عبارتهای C_i ، عددهای ثابتی هستند و همچنین:

$$\varphi = \frac{1}{2} \sqrt{2\delta_n^2 \gamma^2 + 2\Pi} \quad (۴ - ۷۲)$$

$$\tau = \frac{1}{2} \sqrt{2\delta_n^2 \gamma^2 - 2\Pi} \quad (۴ - ۷۳)$$

که در رابطه‌های بالا:

$$\Pi = \sqrt{(\delta_n^2 \gamma^2 - 2\gamma\delta_n\sqrt{\delta_n} + 2\delta_n)(\delta_n^2 \gamma^2 + 2\gamma\delta_n\sqrt{\delta_n} + 2\delta_n)} \quad (۴ - ۷۴)$$

پاسخ معادله‌ی (۴ - ۷۰) به صورت عددی و در بخش پیوست آ.جدول ۶-۶ تعیین شده‌اند.

۴-۳-۱- اعمال شرایط مرزی گیردار برای نانوصفحه‌های دایره‌ای

عبارتهای $Y_0(\tau r)$ و $Y_0(\varphi r)$ در موقعیت مرکز نانوصفحه‌های دایره‌ای، مقداری نامشخص دارند. بنابراین ضریب‌های C_7 و C_8 برابر با صفر می‌باشند.

شرایط مرزی گیردار را می‌توان به صورت زیر در نظر گرفت:

$$P(r)_{r=1} = 0 \quad (۴ - ۷۵)$$

$$\frac{\partial P(r)}{\partial r} \Big|_{r=1} = 0 \quad (۴ - ۷۶)$$

پس از قرار دادن رابطه‌ی (۷۱ - ۴)، در رابطه‌های (۷۵ - ۴) و (۷۶ - ۴) می‌توان نوشت:

$$C_5 J_0(\varphi r) + C_6 J_0(\tau r) = 0 \quad (۷۷ - ۴)$$

$$C_5 \varphi J_1(\varphi r) + C_6 \tau J_1(\tau r) = 0 \quad (۷۸ - ۴)$$

معادله‌های بالا را می‌توان به صورت زیر به فرم ماتریسی نوشت:

$$\begin{bmatrix} J_0(\varphi) & J_0(\tau) \\ \varphi J_1(\varphi) & \tau J_1(\tau) \end{bmatrix} \begin{bmatrix} C_5 \\ C_6 \end{bmatrix} = \begin{bmatrix} 0 \\ 0 \end{bmatrix} \quad (۷۹ - ۴)$$

برای داشتن جواب غیربدیهی، باید دترمینان ماتریس ضریب‌های معادله‌ی بالا صفر باشد. بنابراین:

$$\begin{vmatrix} J_0(\varphi) & J_0(\tau) \\ \varphi J_1(\varphi) & \tau J_1(\tau) \end{vmatrix} = 0 \quad (۸۰ - ۴)$$

در نتیجه:

$$\tau J_0(\varphi) J_1(\tau) - \varphi J_1(\varphi) J_0(\tau) = 0 \quad (۸۱ - ۴)$$

از معادله‌های فرکانسی (۲۵ - ۴) و (۸۱ - ۴) تمامی فرکانس‌های خطی سیستم متشکل از دو نانوصفحه-

ای دایره‌ای شکل متصل به هم توسط محیط الاستیک، بدست می‌آیند.

برای به دست آوردن شکل مودها، با استفاده از رابطه‌ی ماتریسی (۷۹ - ۴)، می‌توان نوشت:

$$\frac{C_6}{C_5} = -\frac{J_0(\varphi)}{J_0(\tau)} \quad (۸۲ - ۴)$$

بنابراین:

$$G = \left[J_0(\varphi r) - \frac{J_0(\varphi)}{J_0(\tau)} J_0(\tau r) \right] Q_n(T_1, T_2) e^{i\delta_n T_0} \quad (۸۳ - ۴)$$

$$+ \alpha_1 A h(r) e^{i\omega_n T_0} + cc$$

۴-۳-۲- اعمال شرایط مرزی گیردار برای نانوصفحه‌های حلقه‌ای

شرایط مرزی گیردار برای نانوصفحه‌های حلقه‌ای را می‌توان به صورت زیر بیان کرد:

$$P(r)_{r=1} = P(r)_{r=\frac{R'}{R}} = 0 \quad (۸۴ - ۴)$$

$$\frac{\partial P(r)}{\partial r}_{r=1} = \frac{\partial P(r)}{\partial r}_{r=\frac{R'}{R}} = 0 \quad (۸۵ - ۴)$$

پس از قرار دادن رابطه‌ی (۷۱ - ۴)، در رابطه‌های (۸۴ - ۴) و (۸۵ - ۴) می‌توان نوشت :

$$C_5 J_0(\varphi) + C_6 J_0(\tau) + C_7 Y_0(\varphi) + C_8 Y_0(\tau) = 0 \quad (۸۶ - ۴)$$

$$C_5 J_0\left(\frac{R'}{R}\varphi\right) + C_6 J_0\left(\frac{R'}{R}\tau\right) + C_7 Y_0\left(\frac{R'}{R}\varphi\right) + C_8 Y_0\left(\frac{R'}{R}\tau\right) = 0 \quad (۸۷ - ۴)$$

$$C_5 \varphi J_1(\varphi) + C_6 \tau J_1(\tau) + C_7 \varphi Y_1(\varphi) + C_8 \tau Y_1(\tau) = 0 \quad (۸۸ - ۴)$$

$$C_5 \varphi J_1\left(\frac{R'}{R}\varphi\right) + C_6 \tau J_1\left(\frac{R'}{R}\tau\right) + C_7 \varphi Y_1\left(\frac{R'}{R}\varphi\right) + C_8 \tau Y_1\left(\frac{R'}{R}\tau\right) = 0 \quad (۸۹ - ۴)$$

معادله‌های بالا را می‌توان به صورت زیر به فرم ماتریسی نوشت:

$$\begin{bmatrix} J_0(\varphi) & J_0(\tau) & Y_0(\varphi) & Y_0(\tau) \\ J_0\left(\frac{R'}{R}\varphi\right) & J_0\left(\frac{R'}{R}\tau\right) & Y_0\left(\frac{R'}{R}\varphi\right) & Y_0\left(\frac{R'}{R}\tau\right) \\ \varphi J_1(\varphi) & \tau J_1(\tau) & \varphi Y_1(\varphi) & \tau Y_1(\tau) \\ \varphi J_1\left(\frac{R'}{R}\varphi\right) & \tau J_1\left(\frac{R'}{R}\tau\right) & \varphi Y_1\left(\frac{R'}{R}\varphi\right) & \tau Y_1\left(\frac{R'}{R}\tau\right) \end{bmatrix} \begin{bmatrix} C_5 \\ C_6 \\ C_7 \\ C_8 \end{bmatrix} = \begin{bmatrix} 0 \\ 0 \\ 0 \\ 0 \end{bmatrix} \quad (۹۰ - ۴)$$

برای داشتن جواب غیربدیهی، باید دترمینان ماتریس ضریب‌های معادله‌ی بالا صفر باشد. بنابراین دترمینان

فرکانسی را به صورت زیر داریم:

$$\begin{vmatrix} J_0(\varphi) & J_0(\tau) & Y_0(\varphi) & Y_0(\tau) \\ J_0\left(\frac{R'}{R}\varphi\right) & J_0\left(\frac{R'}{R}\tau\right) & Y_0\left(\frac{R'}{R}\varphi\right) & Y_0\left(\frac{R'}{R}\tau\right) \\ \varphi J_1(\varphi) & \tau J_1(\tau) & \varphi Y_1(\varphi) & \tau Y_1(\tau) \\ \varphi J_1\left(\frac{R'}{R}\varphi\right) & \tau J_1\left(\frac{R'}{R}\tau\right) & \varphi Y_1\left(\frac{R'}{R}\varphi\right) & \tau Y_1\left(\frac{R'}{R}\tau\right) \end{vmatrix} = 0 \quad (91-4)$$

از معادله‌های فرکانسی (۳۵ - ۴) و (۹۱ - ۴) تمامی فرکانس‌های خطی سیستم دو نانوصفحه‌ای حلقه‌ای شکل متصل به هم توسط محیط الاستیک، بدست می‌آیند.

برای به‌دست آوردن مودشپ‌های این سیستم نیز، با استفاده از رابطه‌ی ماتریسی (۹۰ - ۴)، می‌توان نوشت:

$$\frac{C_6}{C_5} = -\frac{J_0(\varphi)}{J_0(\tau)} - \frac{Y_0(\varphi) \varpi_3}{J_0(\tau) \varpi_1} \quad (92-4)$$

$$+ \left[\frac{\varpi_6 - \frac{\varpi_4}{\varpi_1} \varpi_3}{\varpi_5 - \frac{\varpi_4}{\varpi_1} \varpi_2} \right] \left(\frac{Y_0(\varphi) \varpi_2}{J_0(\tau) \varpi_1} - \frac{Y_0(\tau)}{J_0(\tau)} \right)$$

$$\frac{C_7}{C_5} = \frac{\varpi_3}{\varpi_1} - \frac{\varpi_2}{\varpi_1} \frac{\left(\varpi_6 - \frac{\varpi_4}{\varpi_1} \varpi_3 \right)}{\left(\varpi_5 - \frac{\varpi_4}{\varpi_1} \varpi_2 \right)} \quad (93-4)$$

$$\frac{C_8}{C_5} = \frac{\varpi_6 - \frac{\varpi_4}{\varpi_1} \varpi_3}{\varpi_5 - \frac{\varpi_4}{\varpi_1} \varpi_2} \quad (94-4)$$

که در رابطه‌های بالا:

$$\varpi_1 = Y_0\left(\frac{R'}{R}\varphi\right) - \frac{J_0\left(\frac{R'}{R}\tau\right)}{J_0(\tau)} Y_0(\varphi) \quad (95-4)$$

$$\varpi_2 = Y_0\left(\frac{R'}{R}\tau\right) - \frac{J_0\left(\frac{R'}{R}\tau\right)}{J_0(\tau)}Y_0(\tau) \quad (96-4)$$

$$\varpi_3 = \frac{J_0\left(\frac{R'}{R}\tau\right)}{J_0(\tau)}J_0(\varphi) - J_0\left(\frac{R'}{R}\varphi\right) \quad (97-4)$$

$$\varpi_4 = \varphi Y_1(\varphi) - \frac{\Phi J_1(\tau)}{J_0(\tau)}Y_0(\varphi) \quad (98-4)$$

$$\varpi_5 = \tau Y_1(\tau) - \frac{\Phi J_1(\tau)}{J_0(\tau)}Y_0(\tau) \quad (99-4)$$

$$\varpi_6 = \frac{\tau J_1(\tau)}{J_0(\tau)}J_0(\varphi) - \Psi J_1(\varphi) \quad (100-4)$$

بنابراین:

$$G = \left[J_0(\varphi r) + \frac{C_6}{C_5}J_0(\tau r) + \frac{C_7}{C_5}Y_0(\varphi r) + \frac{C_8}{C_5}Y_0(\tau r) \right] Q_n(T_1, T_2)e^{i\delta_n T_0} + \alpha_1 A h(r)e^{i\omega_n T_0} + cc \quad (101-4)$$

با استفاده از رابطه‌ی (۴-۶۸)، معادله‌ی (۴-۹) را می‌توان به صورت زیر بازنویسی کرد:

$$\nabla^4 H + D_0^2 [H - \gamma^2 \nabla^2 H] = -2i\delta_n D_1 Q_n e^{i\delta_n T_0} [1 - \gamma^2 \nabla^2] G(r) + cc \quad (102-4)$$

پس از حذف عبارت‌های سکولار می‌توان نوشت:

$$D_1 Q_n = 0 \quad (103-4)$$

معادله‌ی بالا بیان می‌کند که عبارت Q_n ، تابع مقیاس زمانی T_1 نمی‌باشد. در نتیجه:

$$H = 0 \quad (104-4)$$

پس از جایگذاری رابطه‌های (۴-۶۸) و (۴-۱۰۴) در معادله‌ی (۴-۱۰) می‌توان نوشت:

$$\begin{aligned}
& \nabla^4 I + D_0^2 [I - \gamma^2 \nabla^2 I] \tag{۱۰۵ - ۴} \\
& = -2i\delta_n D_2 Q_n(T_2) [P(r) - \gamma^2 \nabla^2 P(r)] e^{i\delta_n T_0} \\
& \quad - \left[\frac{3A_n^2 \bar{A}_n \alpha_1 \alpha_2 \chi_1}{\chi_2} \right] [h(r) - \gamma^2 \nabla^2 h(r)] e^{i\omega_n T_0} \\
& \quad + 3\alpha_2 A_n^2 \bar{A}_n \left\{ -\xi(r)^3 + \gamma^2 \xi(r)^2 \left(\frac{d^2 \xi(r)}{dr^2} \right) \right. \\
& \quad + 6\gamma^2 \xi(r) \left(\frac{d\xi(r)}{dr} \right)^2 + \frac{3\gamma^2 \xi(r)^2 \left(\frac{d\xi(r)}{dr} \right)}{r} \\
& \quad \left. - \alpha_1 [S(r) - \gamma^2 \nabla^2 S(r)] \right\} e^{i\omega_n T_0} \\
& \quad + \alpha_2 A_n^3 \left[-\xi(r)^3 + 3\gamma^2 \xi(r)^2 \left(\frac{d^2 \xi(r)}{dr^2} \right) \right. \\
& \quad + 6\gamma^2 \xi(r) \left(\frac{d\xi(r)}{dr} \right)^2 + \frac{3\gamma^2 \xi(r)^2 \left(\frac{d\xi(r)}{dr} \right)}{r} \\
& \quad \left. - \alpha_1 [U(r) - \gamma^2 \nabla^2 U(r)] \right] e^{3i\omega_n T_0} + cc
\end{aligned}$$

بخش غیرهمگن معادله‌ی (۱۰۵ - ۴) در صورتی دارای پاسخ است که شرایط حل‌پذیری صادق باشد. این

شرایط بیان می‌کند که عبارت سمت راست معادله‌ی یادشده باید عمود بر پاسخ معادله‌ی اول، یعنی G

باشد. پس از اعمال این شرایط برای معادله‌ی (۱۰۵ - ۴)، می‌توان نوشت:

$$D_2 Q_n(T_2) = 0 \quad (106 - 4)$$

پاسخ معادله‌ی (۴ - ۱۰۵) را می‌توان به صورت زیر بیان کرد [۱۷]:

$$I = - \left[\frac{3A_n^2 \overline{A_n} \alpha_1 \alpha_2 \chi_1}{\chi_2} \right] M(r) e^{i\omega_n T_0} + 3\alpha_2 A_n^2 \overline{A_n} K(r) e^{i\omega_n T_0} \quad (107 - 4)$$

$$+ \alpha_2 A_n^3 L(r) e^{3i\omega_n T_0} + cc$$

در رابطه‌ی بالا، تابع‌های $M(r)$ ، $K(r)$ و $L(r)$ از متغیر r می‌باشند. پس از جایگذاری رابطه بالا در

معادله‌ی (۴ - ۱۰۶) می‌توان نوشت:

$$\nabla^4 M(r) - \omega_n^2 [M(r) - \gamma^2 \nabla^2 M(r)] = [h(r) - \gamma^2 \nabla^2 h(r)] \quad (108 - 4)$$

$$\nabla^4 K(r) - \omega_n^2 [K(r) - \gamma^2 \nabla^2 K(r)] \quad (109 - 4)$$

$$= -\xi(r)^3 + \gamma^2 \xi(r)^2 \left(\frac{d^2 \xi(r)}{dr^2} \right)$$

$$+ 6 \gamma^2 \xi(r) \left(\frac{d\xi(r)}{dr} \right)^2 + \frac{3 \gamma^2 \xi(r)^2 \left(\frac{d\xi(r)}{dr} \right)}{r}$$

$$- \alpha_1 [S(r) - \gamma^2 \nabla^2 S(r)]$$

$$\nabla^4 L(r) - 9\omega_n^2 [L(r) - \gamma^2 \nabla^2 L(r)] \quad (110 - 4)$$

$$= -\xi(r)^3 + 3 \gamma^2 \xi(r)^2 \left(\frac{d^2 \xi(r)}{dr^2} \right)$$

$$+ 6 \gamma^2 \xi(r) \left(\frac{d\xi(r)}{dr} \right)^2 + \frac{3 \gamma^2 \xi(r)^2 \left(\frac{d\xi(r)}{dr} \right)}{r}$$

$$- \alpha_1 [U(r) - \gamma^2 \nabla^2 U(r)]$$

پاسخ معادله‌های (۴ - ۱۰۸) تا (۴ - ۱۱۰)، به صورت عددی و در بخش پیوست آ.جدول‌های ۴-۶، ۴-۶، ۵ و ۶-۷ تعیین شده‌اند.

پس از جایگذاری رابطه‌های به دست آمده در رابطه‌ی (۴ - ۲) می‌توان نوشت:

$$w_1 = 2\{QP(r) \cos(\delta_n t) + \alpha_1 ah(r) \cos(\Omega_n t + b_0)\} \epsilon \quad (۴ - ۱۱۱)$$

$$- 2a^3 \alpha_2 \left\{ \left[\frac{3\alpha_1 \chi_1}{\chi_2} \right] M(r) \cos(\Omega_n t + b_0) \right.$$

$$- 3K(r) \cos(\Omega_n t + b_0)$$

$$\left. - L(r) \cos(3\Omega_n t + 3b_0) \right\} \epsilon^3$$

در نهایت با استفاده از رابطه‌های به دست آمده برای عبارت‌های w_1 و w_2 می‌توان نوشت:

$$w_2 = 2\{a\xi(r) \cos(\Omega_n t + b_0) - Q\xi(r) \cos(\delta_n t) \quad (۴ - ۱۱۳)$$

$$- \alpha_1 ah(r) \cos(\Omega_n t + b_0)\} \epsilon$$

$$+ 2\alpha_2 a^3 \left\{ U(r) \cos(3\Omega_n t + 3b_0) \right.$$

$$+ 3S(r) \cos(\Omega_n t + b_0)$$

$$+ \left[\frac{3\alpha_1 \chi_1}{\chi_2} \right] M(r) \cos(\Omega_n t + b_0)$$

$$- 3K(r) \cos(\Omega_n t + b_0)$$

$$\left. - L(r) \cos(3\Omega_n t + 3b_0) \right\} \epsilon^3$$

فصل پنجم :

نتیجه‌ها

برای بدست آوردن نتایج تحلیل، باید به پارامترهای موجود در مسأله، مقادیر عددی مناسبی نسبت داد. برای این منظور، می توان نوشت:

$$\begin{aligned}
 R &= 30 \text{ nm} & E &= 1060 \text{ Gpa} \\
 R' &= 15 \text{ nm} & \nu &= 0.3 & (4 - 113) \\
 h &= 0.34 \text{ nm} & e_0 a &= 0 - 70 \text{ nm} \\
 \epsilon &= 0.01 - 1
 \end{aligned}$$

۵-۱- راستی آزمایی نتیجه ها

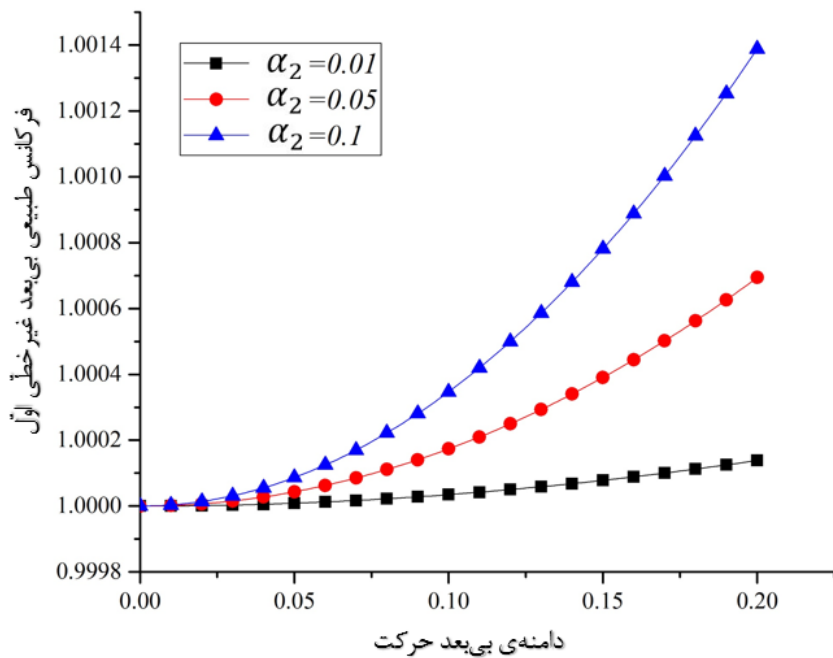
برای ارزیابی نتیجه های به دست آمده و رابطه های استخراج شده، در جدول شماره ۱، چهار فرکانس طبیعی بی بعد خطی اول، برای یک نانوصفحه ی دایره ای در شرایط مرزی گیردار، با نتیجه های به دست آمده در تحقیق های گذشته، مقایسه شده است.

جدول ۱-۵. مقایسه ی نتیجه های به دست آمده برای چهار فرکانس طبیعی بی بعد خطی اول یک صفحه دایره ای و حلقه ای، برای شکل مودهای متقارن محوری، با تحقیق های گذشته.

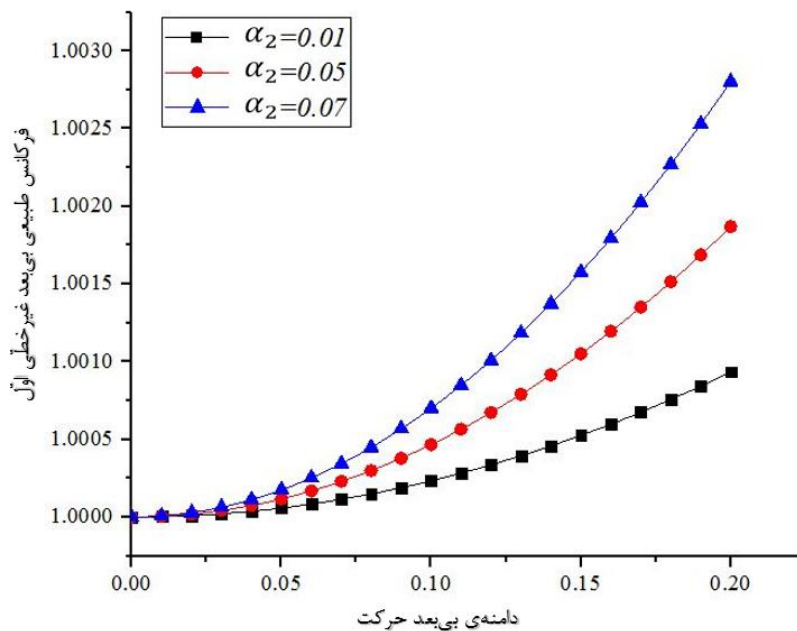
نتیجه های به دست آمده	شماره مود			
	۱	۲	۳	۴
صفحه ی دایره ای با شرایط مرزی گیردار				
هاتربوخ [۱۳]	۱۰/۲۱۵۸	۳۹/۷۷۱۰	۸۹/۱۰۴۰	۱۵۸/۱۸۳۰
تحقیق کنونی	۱۰/۲۱۵۹	۳۹/۷۷۱۱	۸۹/۱۰۴۱	۱۵۸/۱۸۳۰
صفحه ی حلقه ای، با شرایط مرزی گیردار در شعاع داخلی و خارجی				
بوتاهر [۱۸]	۲۷/۲۸۰۰	۷۵/۳۶۰۰	۱۴۸/۲۱۰۰	۲۴۵/۴۸۰۰
تحقیق کنونی	۲۷/۲۸۰۵	۷۵/۳۶۶۳	۱۴۸/۲۱۳۷	۲۴۵/۴۸۴۹

در جدول بالا، حداکثر خطای نتیجه های به دست آمده، کمتر از ۰/۰۰۰۱ درصد می باشد. دلیل خطای به دست آمده، تفاوت روش های عددی استفاده شده و تفاوت دقت انجام محاسبه های عددی می باشد.

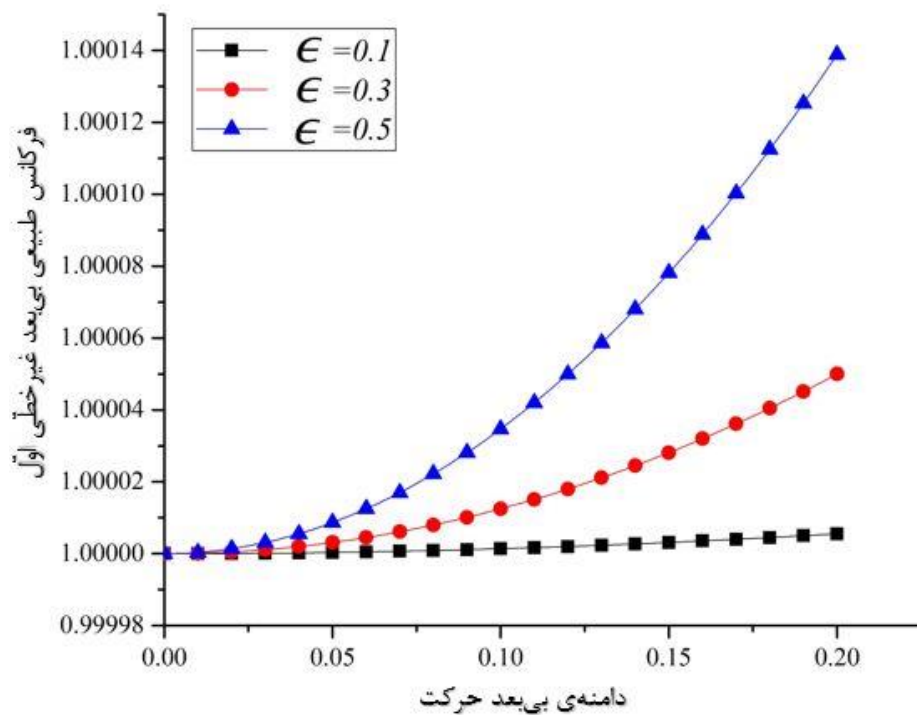
۵-۲- نتایج بدست آمده برای فرکانس غیر خطی سیستم



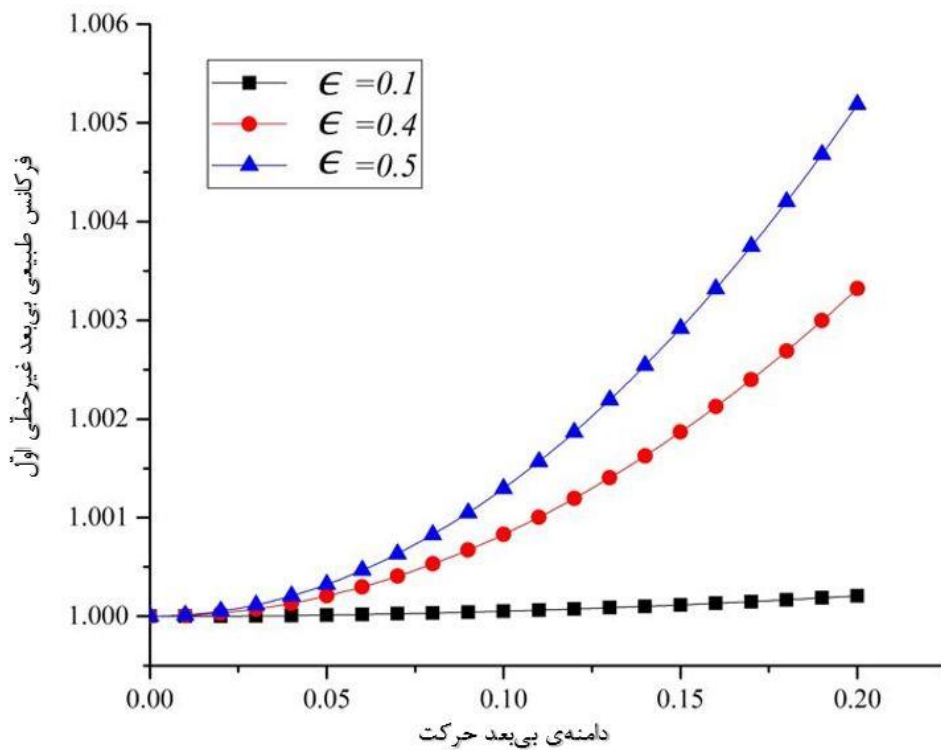
شکل ۵-۱. مقایسه‌ی نتیجه‌های به‌دست آمده برای فرکانس طبیعی بی‌بعد غیر خطی اول برای مقادیرهای مختلفی از ضریب فنریّت غیر خطی، برای سیستم تشکیل شده از نانوصفحه‌های دایره‌ای.



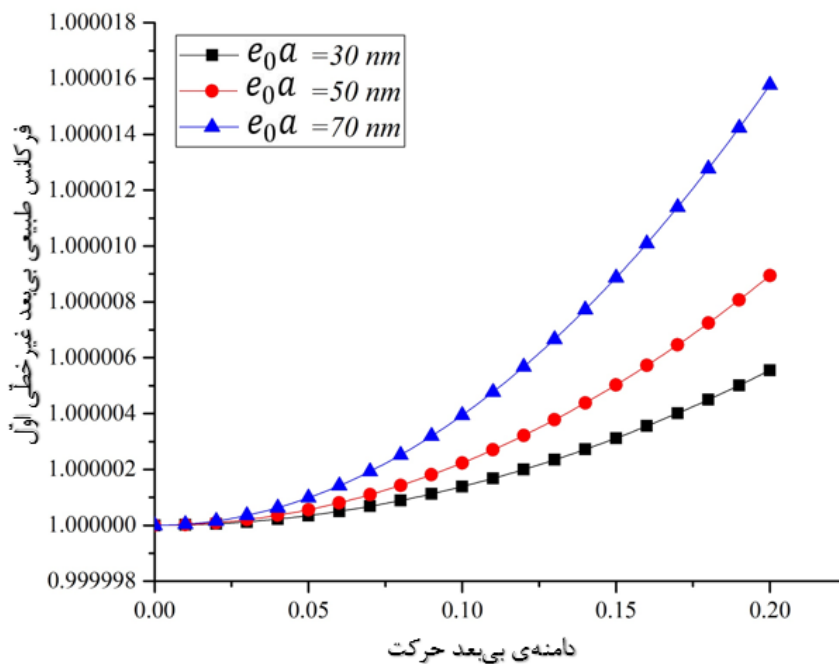
شکل ۵-۲. مقایسه‌ی نتیجه‌های به‌دست آمده برای فرکانس طبیعی بی‌بعد غیرخطی اول برای مقادیرهای مختلفی از ضریب فنریت غیرخطی، برای سیستم تشکیل شده از نانوصفحه‌های حلقه‌ای.



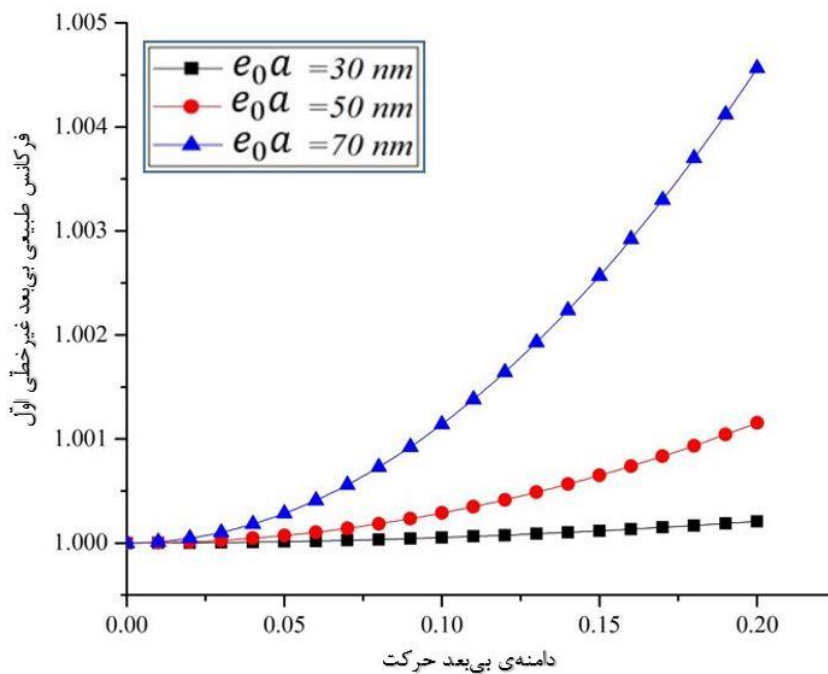
شکل ۵-۳. مقایسه‌ی نتیجه‌های به‌دست آمده برای فرکانس طبیعی بی‌بعد غیرخطی اول برای مقادیرهای مختلفی از مرتبه‌ی جابجایی عرضی، برای سیستم تشکیل شده از نانوصفحه‌های دایره‌ای.



شکل ۴-۵. مقایسه‌ی نتیجه‌های به‌دست آمده برای فرکانس طبیعی بی‌بعد غیرخطی اول برای مقادیر مختلفی از مرتبه‌ی جابجایی عرضی، برای سیستم تشکیل شده از نانوصفحه‌های حلقه‌ای.

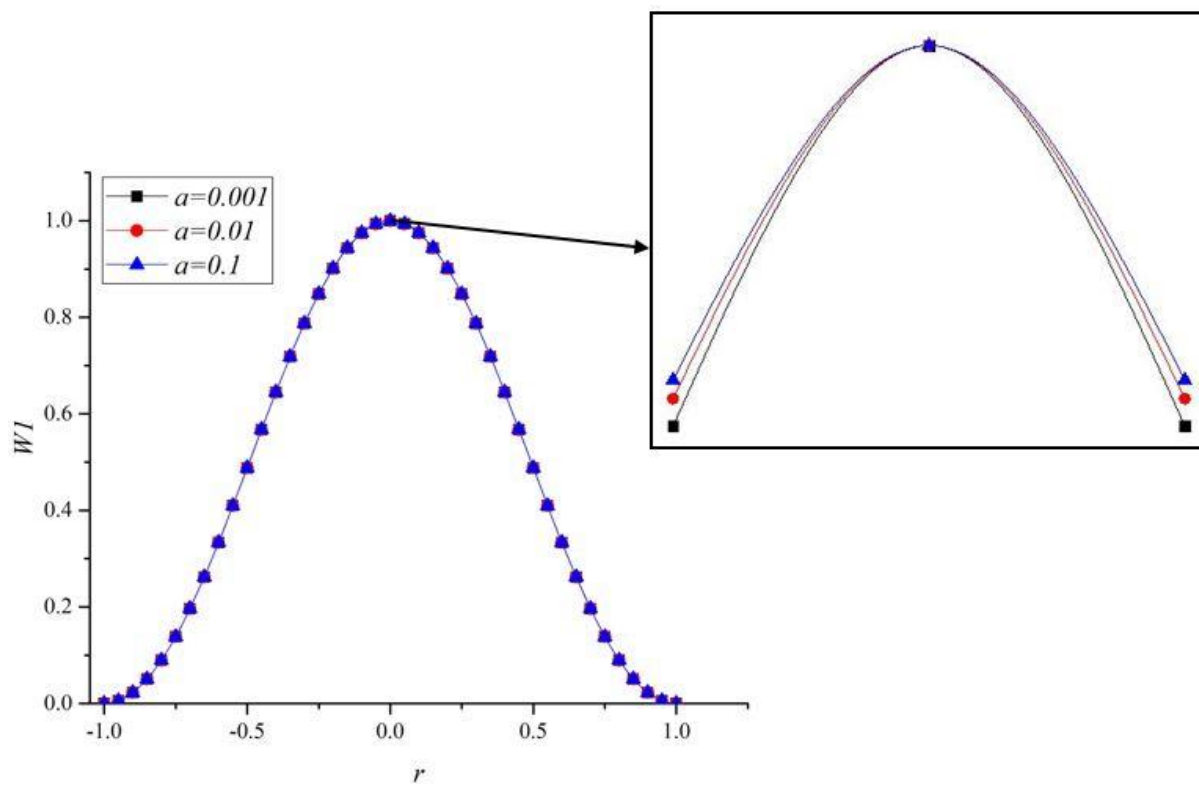


شکل ۵-۵. مقایسه‌ی نتیجه‌های به‌دست آمده برای فرکانس طبیعی بی‌بعد غیرخطی اول برای مقادیرهای مختلفی از پارامتر غیرمحلی، برای سیستم تشکیل شده از نانوصفحه‌های دایره‌ای.

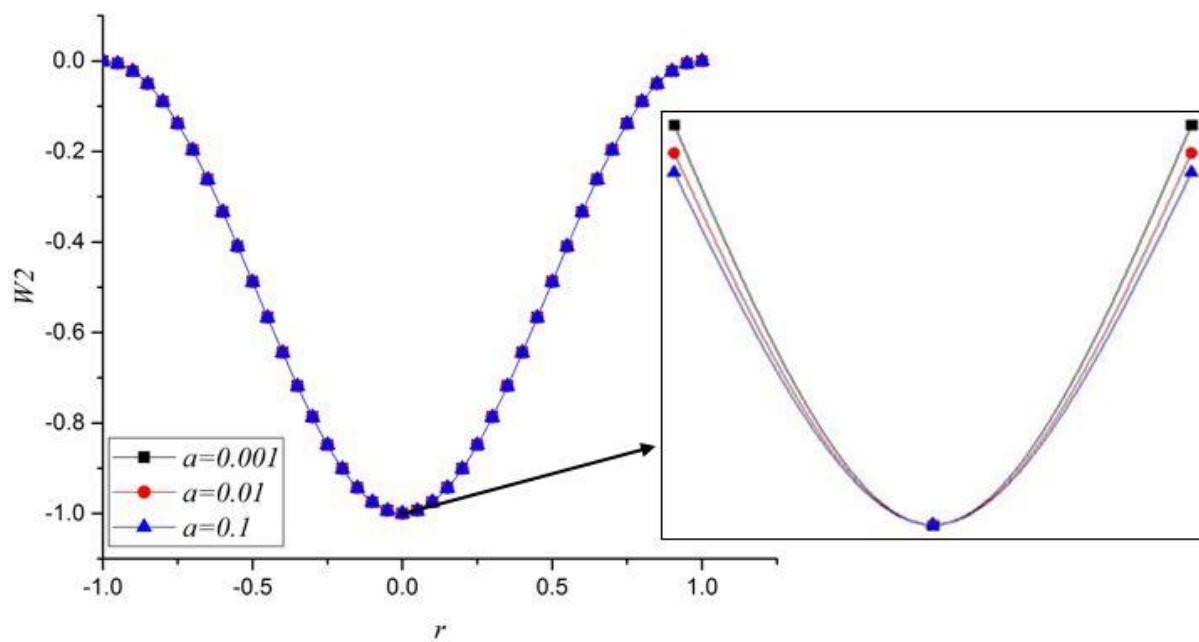


شکل ۵-۶. مقایسه‌ی نتیجه‌های به‌دست آمده برای فرکانس طبیعی بی‌بعد غیرخطی اول، برای مقادیرهای مختلفی از پارامتر غیرمحلی، برای سیستم تشکیل شده از نانوصفحه‌های حلقه‌ای.

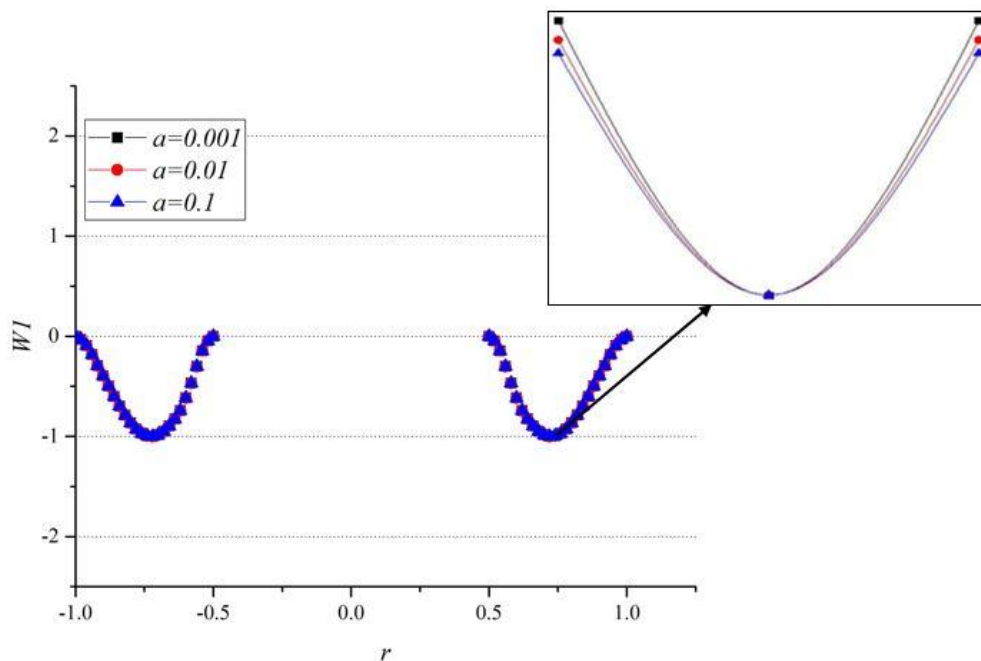
۵-۳- نتایج بدست آمده برای شکل مودهای سیستم



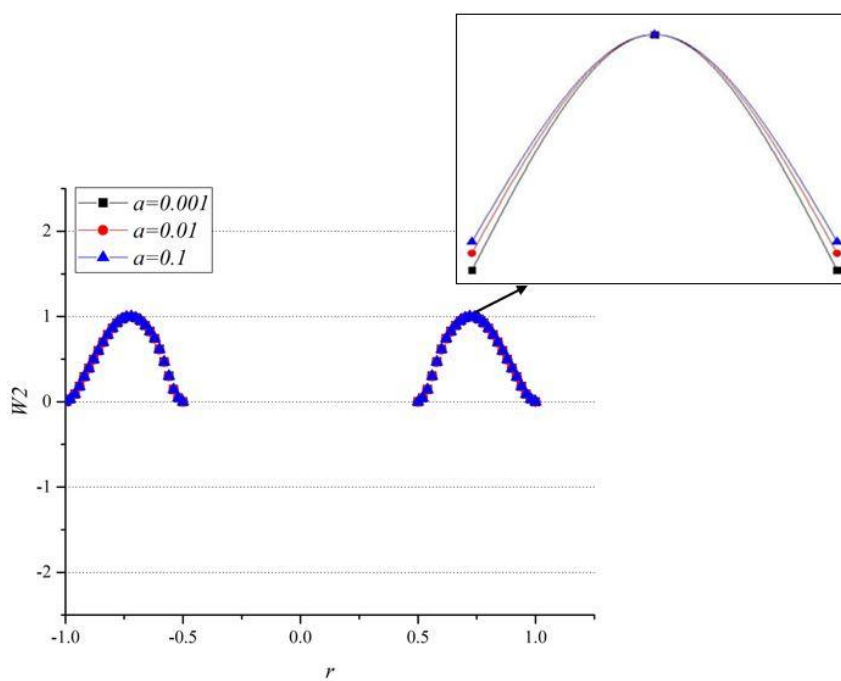
شکل ۵-۷. مقایسه‌ی نتیجه‌های به‌دست آمده برای شکل‌مود نانوصفحه‌ی اول، برای مقدارهای مختلفی از دامنه‌ی حرکت، برای سیستم تشکیل شده از نانوصفحه‌های دایره‌ای.



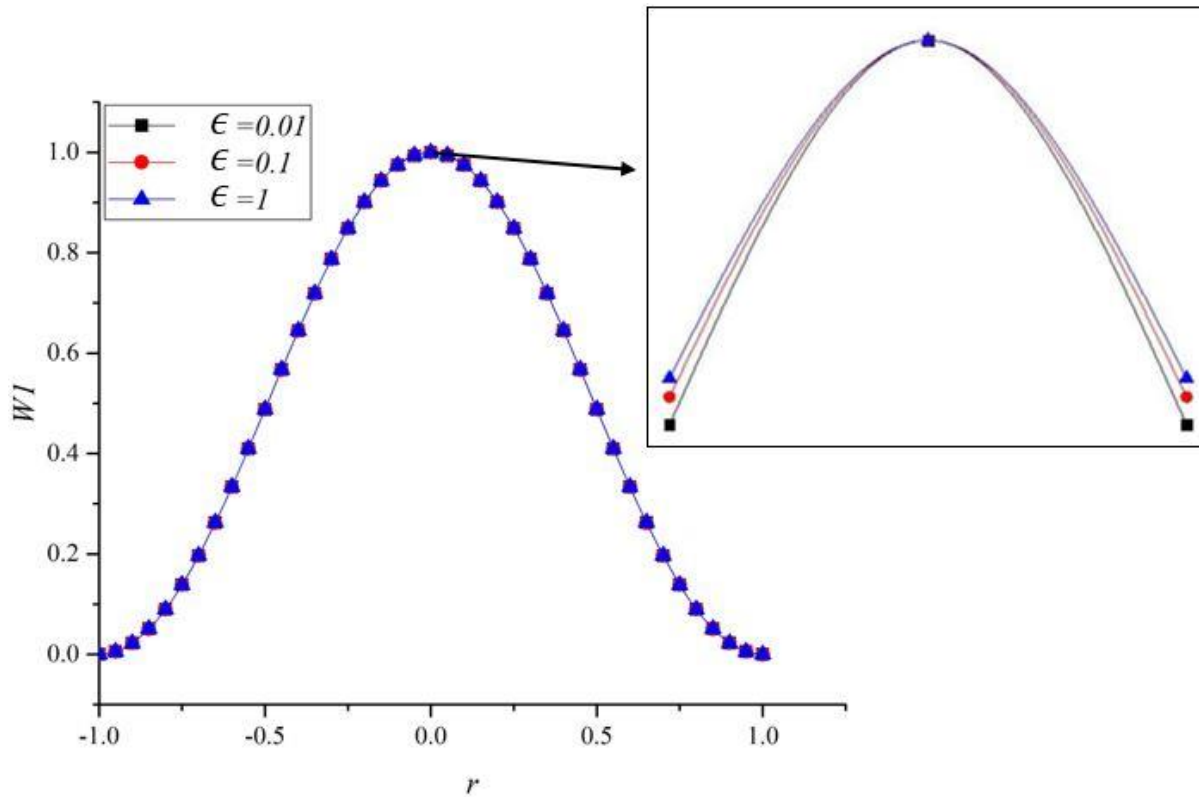
شکل ۵-۸. مقایسه‌ی نتیجه‌های به‌دست آمده برای شکل‌مود نانوصفحه‌ی دوم، برای مقدارهای مختلفی از دامنه‌ی حرکت، برای سیستم تشکیل شده از نانوصفحه‌های دایره‌ای.



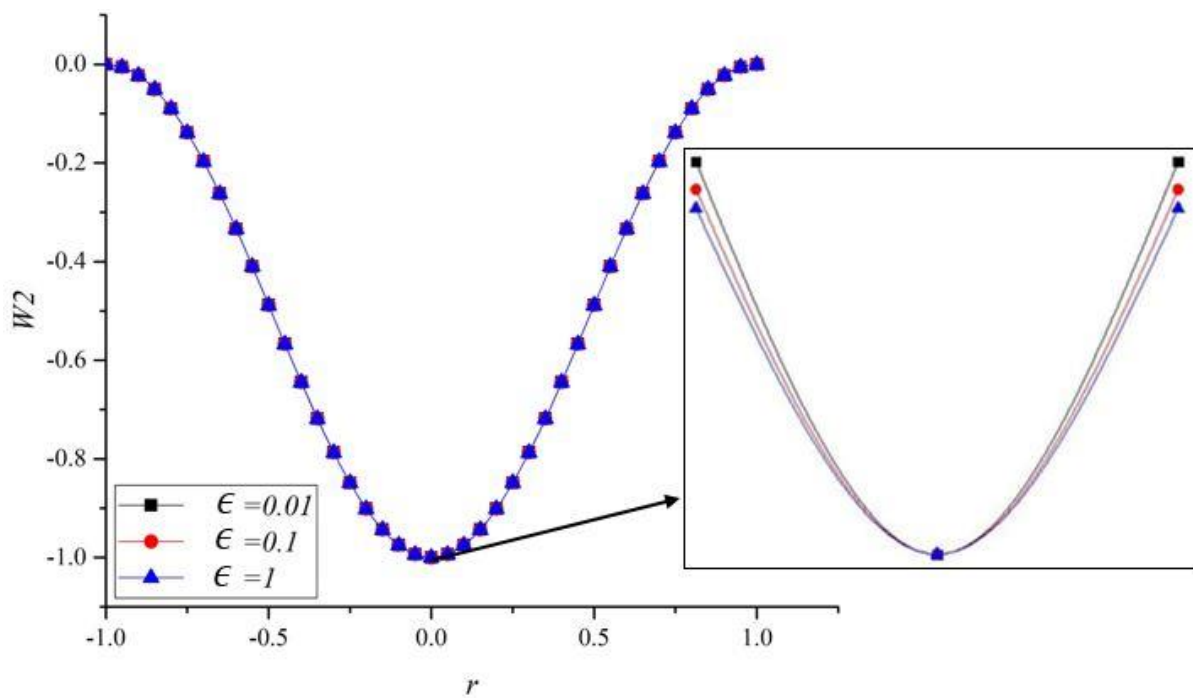
شکل ۵-۹. مقایسه‌ی نتیجه‌های به‌دست آمده برای شکل‌مود نانوصفحه‌ی اول، برای مقدارهای مختلفی از دامنه‌ی حرکت، برای سیستم تشکیل شده از نانوصفحه‌های حلقه‌ای.



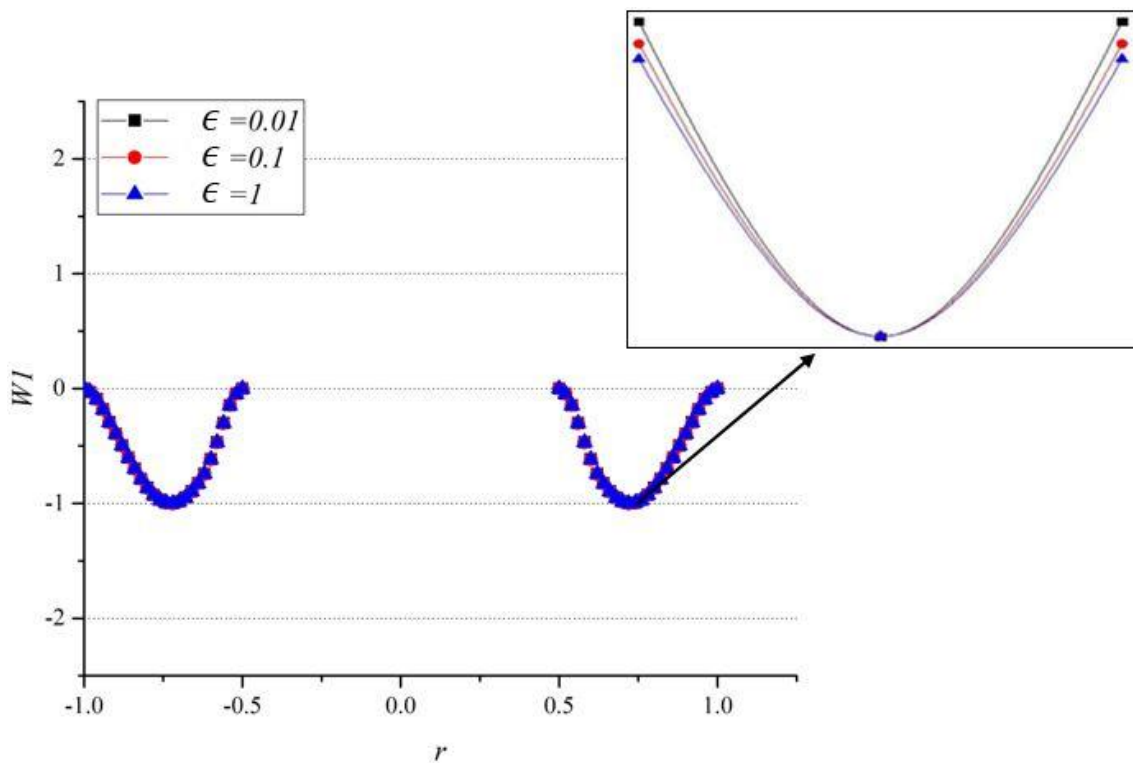
شکل ۵-۱۰. مقایسه‌ی نتیجه‌های به‌دست آمده برای شکل‌مود نانوصفحه‌ی دوم، برای مقدارهای مختلفی از دامنه‌ی حرکت، برای سیستم تشکیل شده از نانوصفحه‌های حلقه‌ای.



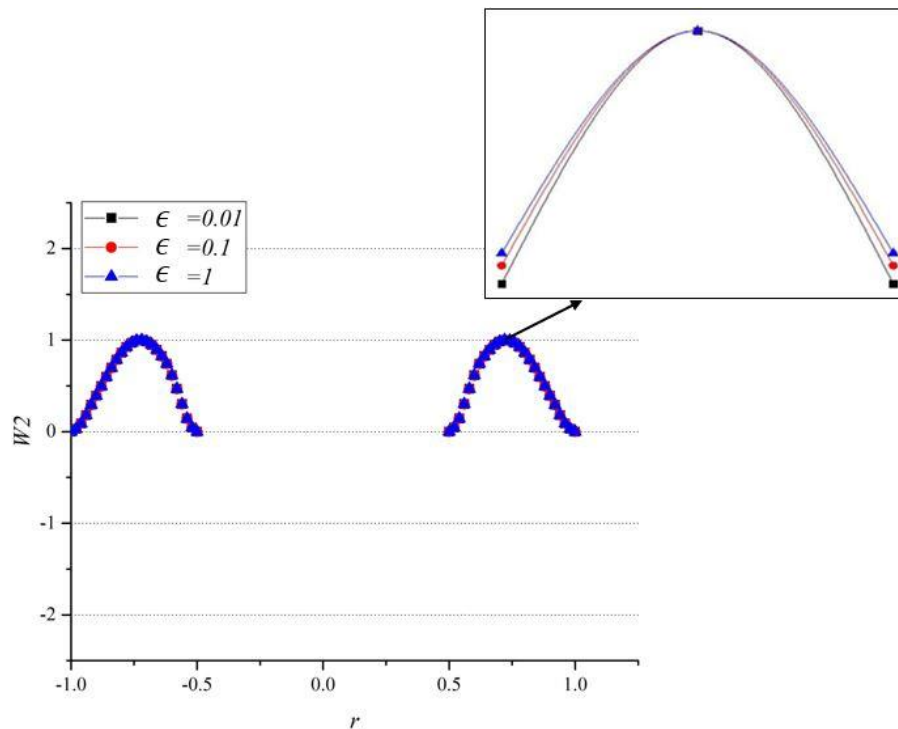
شکل ۵-۱۱. مقایسه‌ی نتیجه‌های به‌دست آمده برای شکل‌مود نانوصفحه‌ی اول، برای مقدارهای مختلفی از مرتبه‌ی جابجایی عرضی، برای سیستم تشکیل شده از نانوصفحه‌های دایره‌ای.



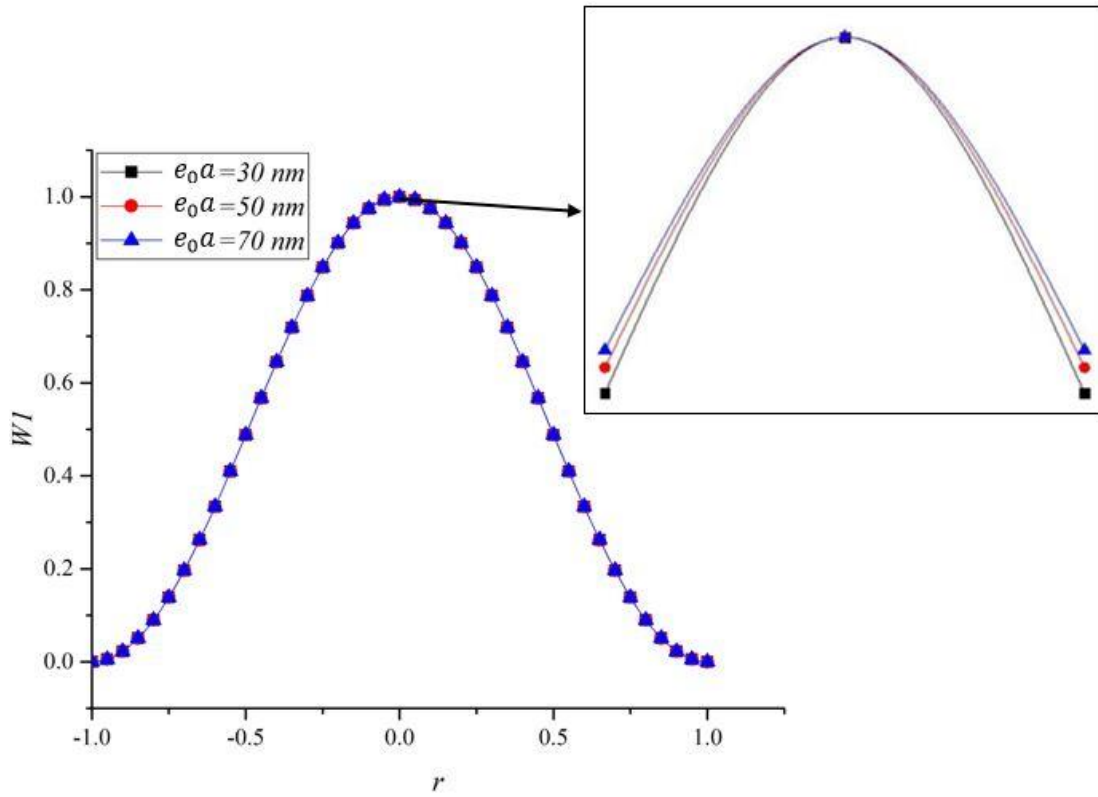
شکل ۵-۱۲. مقایسه‌ی نتیجه‌های به‌دست آمده برای شکل‌مود نانوصفحه‌ی دوم، برای مقادیر مختلف از مرتبه‌ی جابجایی عرضی، برای سیستم تشکیل شده از نانوصفحه‌های دایره‌ای.



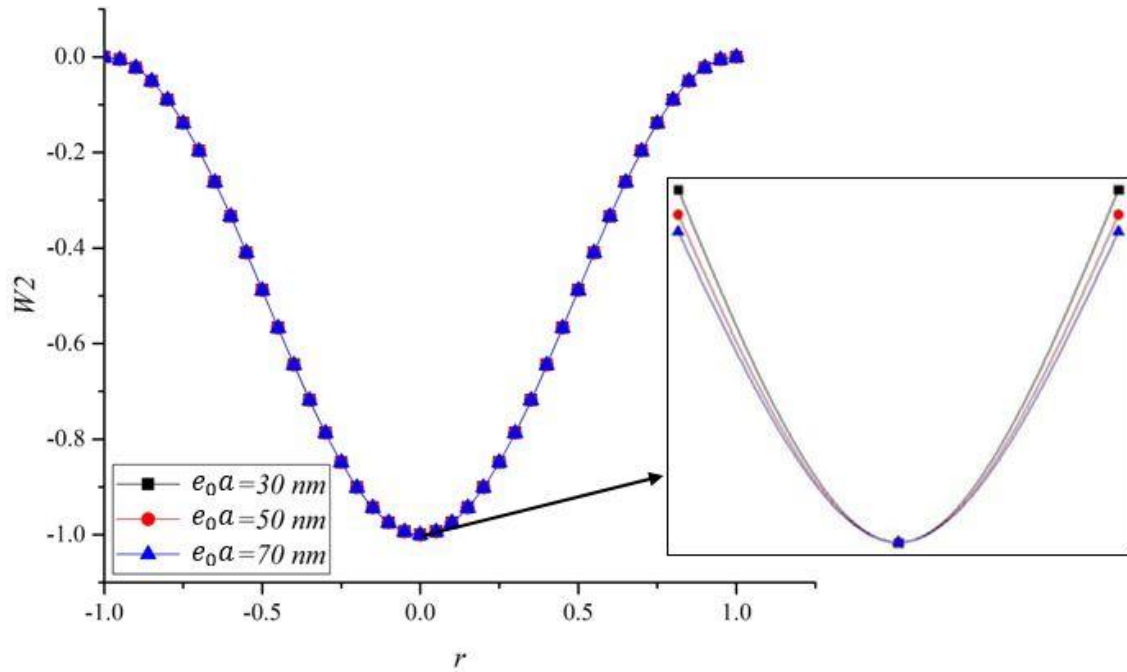
شکل ۵-۱۳. مقایسه‌ی نتیجه‌های به‌دست آمده برای شکل‌مود نانوصفحه‌ی اول، برای مقدارهای مختلفی از مرتبه‌ی جابجایی عرضی، برای سیستم تشکیل شده از نانوصفحه‌های حلقه‌ای.



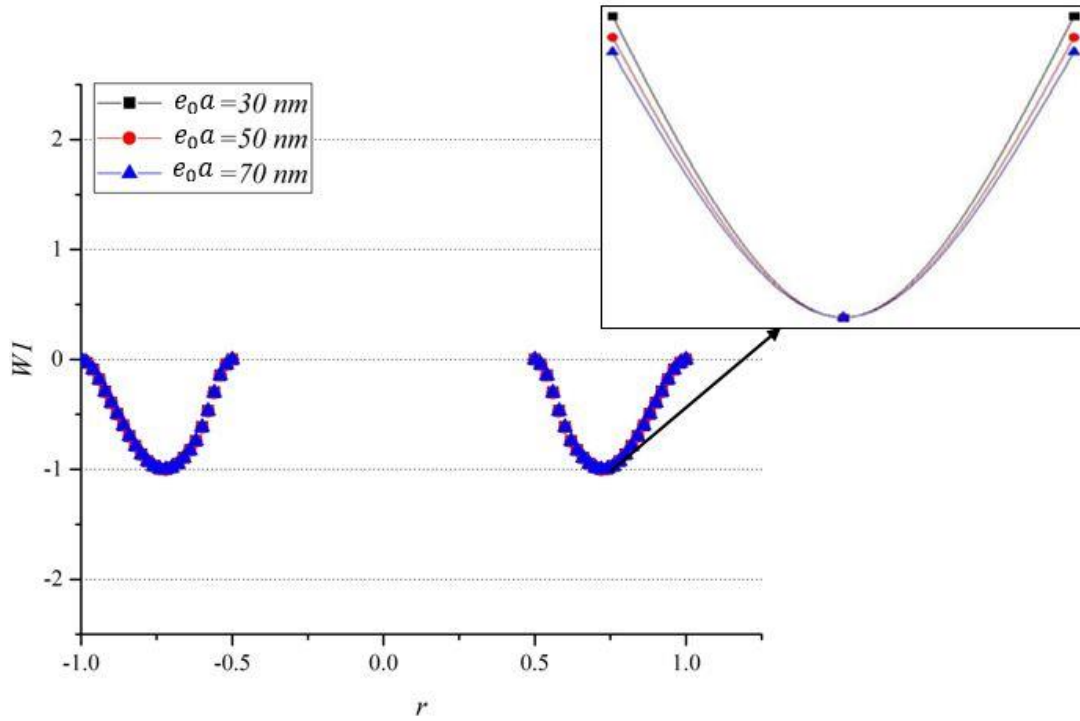
شکل ۵-۱۴. مقایسه‌ی نتیجه‌های به‌دست آمده برای شکل‌مود نانوصفحه‌ی دوم، برای مقدارهای مختلفی از مرتبه‌ی جابجایی عرضی، برای سیستم تشکیل شده از نانوصفحه‌های حلقه‌ای.



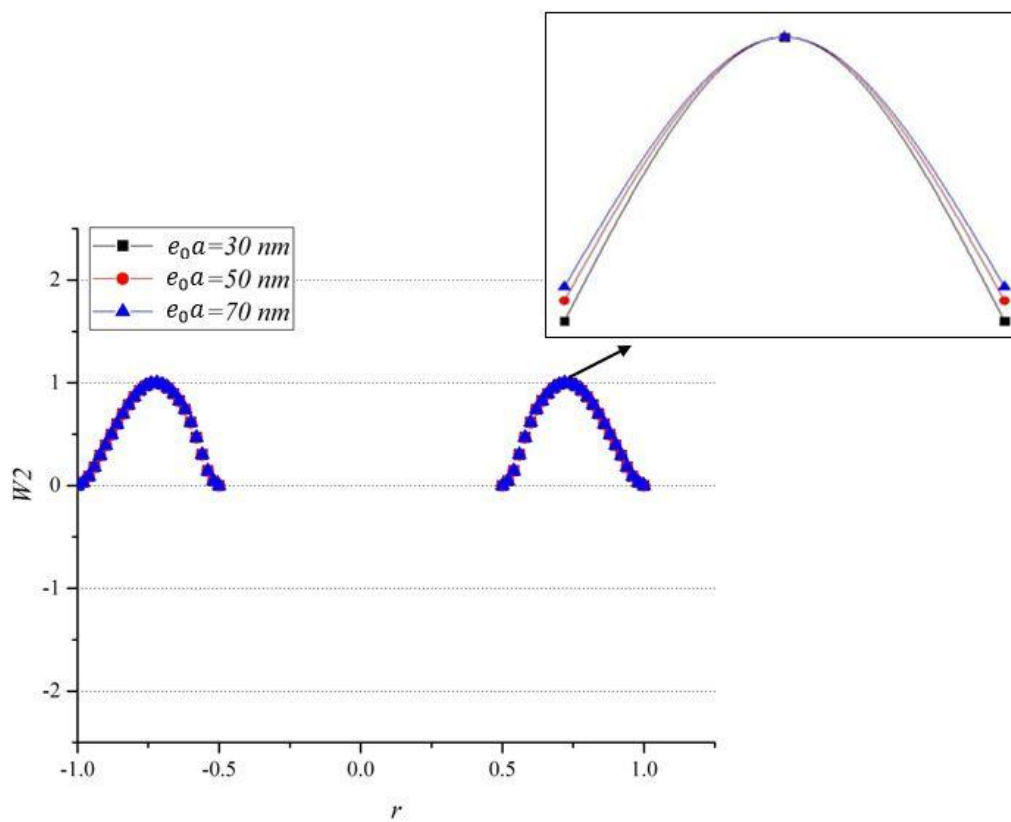
شکل ۵-۱۵. مقایسه‌ی نتیجه‌های به‌دست آمده برای شکل‌مود نانوصفحه‌ی اول، برای مقدارهای مختلفی از پارامتر غیرمحتلی، برای سیستم تشکیل شده از نانوصفحه‌های دایره‌ای.



شکل ۵-۱۶. مقایسه‌ی نتیجه‌های به‌دست آمده برای شکل‌مود نانوصفحه‌ی دوم، برای مقدارهای مختلفی از پارامتر غیرمحتلی، برای سیستم تشکیل شده از نانوصفحه‌های دایره‌ای.



شکل ۵-۱۷. مقایسه‌ی نتیجه‌های به‌دست آمده برای شکل‌مود نانوصفحه‌ی اول، برای مقدارهای مختلفی از پارامتر غیرمحتلی، برای سیستم تشکیل شده از نانوصفحه‌های حلقه‌ای.



شکل ۵-۱۸. مقایسه‌ی نتیجه‌های به‌دست آمده برای شکل‌مود نانوصفحه‌ی دوم، برای مقدارهای مختلفی از پارامتر غیرمحلّی، برای سیستم تشکیل شده از نانوصفحه‌های حلقه‌ای.

فصل ششم :

نتیجه گیری

۶-۱- اثر پارامتر مقیاس کوچک بر ارتعاشات سیستم

بر اساس نتایج بدست آمده، مشخص شد که فرکانس غیرخطی سیستم به مقدار بسیار زیادی، به پارامتر مقیاس کوچک بستگی دارد. شکل‌های ۵-۵ و ۶-۵، به خوبی نشان دهنده‌ی این امر هستند. این نتایج نشان می‌دهند که با افزایش مقدار این پارامتر، شدت تغییرات فرکانس طبیعی غیرخطی سیستم، بیشتر می‌شود. مشاهده می‌شود که در صورت چشم پوشی از این پارامتر، نتایج تحلیل اشتباه می‌باشد. این موضوع، اهمیت بالای پارامتر مقیاس کوچک و تئوری الاستیسیته‌ی غیرمحلی ارینگن را، در تحلیل مسأله‌های مقیاس کوچک، نشان می‌دهد. در نتیجه تئوری کلاسیک به دلیل چشم پوشی از این پارامتر، قادر به تحلیل صحیح مسأله‌های مقیاس کوچک نیست.

شکل‌های ۵-۱۵ تا ۵-۱۸، نشان‌دهنده‌ی تغییرات شکل‌مод سیستم، با تغییر پارامتر مقیاس کوچک، است. برای مشاهده‌ی بهتر تاثیر این پارامتر، شکل‌مод نرمال شده، برای مقدارهای مختلفی از پارامتر مقیاس کوچک، رسم شده است. مشاهده می‌شود که با افزایش این پارامتر، تغییرات شکل‌مод در محل اکسترمم مطلق، ملایم‌تر می‌شود. افزایش مقدار این پارامتر، به معنی افزایش تأثیر نیروهای جاذبه‌ی بین اتمی و طول داخلی است. در نتیجه، می‌توان گفت که هرچه تأثیر این عوامل بیشتر شود، در محل اکسترمم، شدت تغییرات شکل‌مод کم‌تر می‌شود.

۶-۲- اثر پارامتر غیرخطی بر ارتعاشات سیستم

اثر پارامتر غیرخطی، بر فرکانس طبیعی غیرخطی و شکل‌مод سیستم، بررسی شد. نتایج این بررسی نشان می‌دهد که با بیشتر شدن کمیت‌های غیرخطی سیستم، انحراف پارامترهای ارتعاشی سیستم از حالت خطی، بیشتر شده است. شکل‌های ۵-۱ تا ۵-۴، انحراف فرکانس غیرخطی از فرکانس خطی سیستم را، نشان می‌دهند. در این تحقیق، دو کمیت ϵ و α_2 نشان‌دهنده‌ی بخش غیرخطی سیستم می‌باشند. ϵ و α_2 به ترتیب ناشی از بزرگ در نظر گرفتن دامنه‌ی ارتعاش و غیرخطی بودن محیط الاستیک می‌باشند. افزایش این کمیت‌ها، مقدار فرکانس طبیعی غیرخطی را می‌تواند به شدت تحت تاثیر قرار دهد به گونه‌ای که فرکانس‌های غیرخطی بالاتر، در مقدارهای بیشتری از این کمیت‌ها، بوجود می‌آیند.

شکل‌های ۵-۷ تا ۵-۱۴ نشان‌دهنده‌ی تغییرات شکل‌مод سیستم، با تغییر کمیت‌های غیرخطی می‌باشند. در این نتایج مشاهده می‌شود که اثر افزایش این کمیت‌ها، مشابه اثر افزایش پارامتر مقیاس کوچک، تغییرات شکل‌مод را در محل اکسترمم ، ملایم‌تر می‌کنند. این شکل‌ها به خوبی انحراف شکل‌مод خطی از شکل‌مод غیرخطی را نشان می‌دهند.

مراجع

- [1] Jun SC, Son H, Baik CW, Kim JM, Moon SW, Kim HJ, et al. Electrothermal noise analysis in frequency tuning of nanoresonators. *Solid-State Electr* 2008; 52:1388–93.
- [2] Gibson RF, Ayorinde OE, Wen Yuan-Feng. Vibration of carbon nanotubes and there composites: a review. *Compos Sci Technol* 2007; 67:1–28.
- [3] Tsai JL, Lu TC. Investigating the load transfer efficiency in carbon nanotubes reinforced nanocomposites. *Compos Struct* 2009; 90:172–9.
- [4] Chowdhury R, Adhikari S, Wang CW, Scarpa F. A molecular mechanics approach for the vibration of single walled carbon nanotubes. *Comput Mater Sci* 2010;48:730–5.
- [5] Timoshenko S. *Vibration Problems in Engineering*. New York: Wiley; 1974.
- [6] Eringen, A. C., Linear theory of nonlocal elasticity and dispersion of plane waves, *Int. J. Engng Sci*, 10, 425-435, 1972.
- [7] E. Jomehzadeh, A.R. Saidi, N.M. Pugno. Large amplitude vibration of a bilayer graphene embedded in a nonlinear polymer matrix. *Physica E* 44 (2012) 1973–1982.
- [8] Eringen AC. On differential equations of nonlocal elasticity and solutions of screw dislocation and surface waves. *J Appl Phys* 1983;54:4703–10.
- [9] Simsek M. Vibration analysis of a single-walled carbon nanotube under action of a moving harmonic load based on nonlocal elasticity theory. *Phys E: Lowdimens Syst Nanostruct* 2010;43:182–91.
- [10] Frank IW, Deotare PB, McCutcheon MW, Loncar M. Programmable photonic crystal nanobeam cavities. *Opt Express* 2010;18(8):8705–12.
- [11] Oniszczyk Z. Free transverse vibrations of an elastically connected rectangular simply supported double-plate complex system. *J Sound Vib* 2000;236(4):595–608.
- [12] Behfar K, Naghdabadi R. Nanoscale vibrational analysis of a multi-layered graphene sheet embedded in an elastic medium. *Compos Sci Technol* 2005;65:1159–64.
- [13] M. Haterboucha, R. Benamar. 2003, The effects of large vibration amplitudes on the axisymmetric mode shapes and natural frequencies of clamped thin isotropic circular plates. Part I: iterative and explicit analytical solution for non-linear transverse vibrations. Wiley, New York. *The international Journal of sounds and Vibration*.
- [14] M. Mohammadi, M. Ghayour, A. Farajpour. 2013, Free transverse vibration analysis of circular and annular graphene sheets with various boundary conditions using the nonlocal continuum plate model. *Composites: Part B* 45 (2013) 32–42.

[15] T.Murmu, S.Adhikari. 2011, Nonlocal vibration of bonded double-nanoplate-systems. Composites: Part B 45 (2013) 32–42.

[16] A.H.Nayfeh, D.T.Mook. 1979, Nonlinear Oscillations. Wiley, New York.

[17] A.H.Nayfeh, S.A.Nayfeh. 1995, Nonlinear Normal Modes of a Continuous System With Quadratic Nonlinearities. International Journal of Vibration and Acoustics.

[18] Boutahar Lhoucine, El Bikri Khalid, Benamar Rhali. Geometrically Non-Linear Axisymmetric Free Vibrations of Thin Isotropic Annular Plates. International Journal of Mechanical, Aerospace, Industrial, Mechatronic and Manufacturing Engineering Vol:7, No:9, 2013.

پیوست آ

جدول ۷-۱.

مقادیر عددی بدست آمده برای پارامترهای X_1 و X_2 .

<i>Nano-Plate Radius(Nm)</i>	<i>Nonlocal Parameter(Nm)</i>	K_1	K_2	ω_n	X_1	X_2
30	0	100	100	10.2158	-0.3517	0.4313
30	1	100	100	10.0052	-0.34	0.4262
30	2	100	100	9.7307	-0.3231	0.4207
10	1	100	100	9.4054	-0.3007	0.4145
15	1	100	100	9.7307	-0.3231	0.4207
20	1	100	100	9.8752	-0.3322	0.4235
30	1	1.00E+02	100	10.0052	-0.34	0.4262
30	1	1.00E+13	100	10.2152	-0.34	0.4262
30	1	1.00E+14	100	11.9401	-0.34	0.4262
30	1	100	100	10.0052	-0.34	0.4262
30	1	100	200	10.0052	-0.34	0.4262
30	1	100	300	10.0052	-0.34	0.4262

تابع $S(r)$

$$S(r) = S_5 r^5 + S_4 r^4 + S_3 r^3 + S_2 r^2 + S_1 r + S_0$$

جدول ۲-۷. ثوابت استفاده شده در تعیین عددی تابع $S(r)$.

	K_1	K_2	$a(Nm)$	$Q_n(Nm)$	ϵ	$R(nm)$	$e_0 a(nm)$
1	100	100	100	100	1.00E-07	30	30
2	100	100	100	100	1.00E-07	30	50
3	100	100	100	100	1.00E-07	30	70
4	100	100	100	100	1.00E-07	30	100
5	100	100	100	100	1.00E-07	30	150
6	100	100	100	100	1.00E-07	30	200
7	100	100	100	100	1.00E-07	10	100
8	100	100	100	100	1.00E-07	50	100

جدول ۳-۷. ضرایب ثابت تابع $S(r)$ به ازای مقادیر مختلف داده شده در جدول ۲-۷.

	S_5	S_4	S_3	S_2	S_1	S_0
1	0.02308	0.3684	-2.111	4.385	-4.026	1.36
2	0.5397	-1.243	-0.4662	4.014	-4.351	1.507
3	1.647	-4.944	3.955	2.006	-4.326	1.662
4	4.253	-13.76	43.61	-17.43	-2.838	2.711
5	11.14	-37.19	3.955	2.006	-4.326	1.662
6	21.35	-71.99	86.65	-38.8	-1.015	3.8
7	52.07	-176.9	216.8	-103.6	4.588	7.086
8	1.037	-2.893	1.483	3.155	-4.362	1.581

تابع $U(r)$

$$U(r) = U_5 r^5 + U_4 r^4 + U_3 r^3 + U_2 r^2 + U_1 r + U_0$$

جدول ۴-۷. ثوابت استفاده شده در تعیین عددی تابع $U(r)$.

	K_1	K_2	$a(Nm)$	$Q_n(Nm)$	$EPSILON$	Nano-Plate Radius(Nm)	Nonlocal Parameter(Nm)
1	100	100	100	100	1.00E-07	30	30
2	100	100	100	100	1.00E-07	30	50
3	100	100	100	100	1.00E-07	30	70
4	100	100	100	100	1.00E-07	30	100
5	100	100	100	100	1.00E-07	30	150
6	100	100	100	100	1.00E-07	30	200
7	100	100	100	100	1.00E-07	10	100
8	100	100	100	100	1.00E-07	50	100

جدول ۵-۷. ضرایب ثابت تابع $U(r)$ به ازای مقادیر مختلف داده شده در جدول ۴-۷.

	U_5	U_4	U_3	U_2	U_1	U_0
1	-324.9	1102	-1470	971.8	-323.6	44.56
2	-535.5	1803	-2381	1551	-505.4	67.48
3	-727.8	2443	-3212	2078	-670.9	88.35
4	-1060	3551	-4651	2994	-958.9	124.8
5	-1848	6175	-8060	5164	-1642	211.4
6	-3018	1.01E+04	-1.31E+04	8376	-2652	339.2
7	-6700	2.23E+04	-2.90E+04	1.84E+04	-5815	738.3
8	-630.7	2120	-2792	1812	-587.2	77.79

تابع $L(r)$

$$L(r) = L_5 r^5 + L_4 r^4 + L_3 r^3 + L_2 r^2 + L_1 r + L_0$$

جدول ۶-۷. ثوابت استفاده شده در تعیین عددی تابع $L(r)$.

	K_1	K_2	$a(Nm)$	$Q_n(Nm)$	$EPSILON$	Nano-Plate Radius(Nm)	Nonlocal Parameter(Nm)
1	100	100	100	100	1.00E-07	30	30
2	100	100	100	100	1.00E-07	30	50
3	100	100	100	100	1.00E-07	30	70
4	100	100	100	100	1.00E-07	30	100
5	100	100	100	100	1.00E-07	30	150
6	100	100	100	100	1.00E-07	30	200
7	100	100	100	100	1.00E-07	10	100
8	100	100	100	100	1.00E-07	50	100

جدول ۷-۷. ضرایب ثابت تابع $L(r)$ به ازای مقادیر مختلف داده شده در جدول ۶-۷.

	L_5	L_4	L_3	L_2	L_1	L_0
1	-324.9	1102	-1470	971.8	-323.6	44.56
2	-535.5	1803	-2381	1551	-505.4	67.48
3	-727.8	2443	-3212	2078	-670.9	88.35
4	-1060	3551	-4651	2994	-958.9	124.8
5	-1848	6175	-8060	5164	-1642	211.4
6	-3018	1.01E+04	-1.31E+04	8376	-2652	339.2
7	-6700	2.23E+04	-2.90E+04	1.84E+04	-5815	738.3
8	-630.7	2120	-2792	1812	-587.2	77.79

تابع $K(r)$

$$K(r) = K_5 r^5 + K_4 r^4 + K_3 r^3 + K_2 r^2 + K_1 r + K_0$$

جدول ۷-۸. ثوابت استفاده شده در تعیین عددی تابع $K(r)$.

	K_1	K_2	$a(Nm)$	$Q_n(Nm)$	EPSILON	Nano-Plate Radius(Nm)	Nonlocal Parameter(Nm)
1	100	100	100	100	1.00E-07	30	30
2	100	100	100	100	1.00E-07	30	50
3	100	100	100	100	1.00E-07	30	70
4	100	100	100	100	1.00E-07	30	100
5	100	100	100	100	1.00E-07	30	150
6	100	100	100	100	1.00E-07	30	200
7	100	100	100	100	1.00E-07	10	100
8	100	100	100	100	1.00E-07	50	100

جدول ۷-۹. ضرایب ثابت تابع $K(r)$ به ازای مقادیر مختلف داده شده در جدول ۷-۸.

	K_5	K_4	K_3	K_2	K_1	K_0
1	-0.6551	3.091	-6.455	7.807	-323.6	1.554
2	-0.8192	4.421	-10.03	12.2	-505.4	2.132
3	-1.646	11	-27.65	33.89	-670.9	5.003
4	-3.308	23.54	-60.59	74.09	-958.9	10.3
5	-5.994	42.95	-110.7	134.8	-1642	18.24
6	-14.8	104.5	-266.7	321.9	-2652	42.56
7	-0.941	5.356	-12.5	15.22	-5815	2.53

تابع $h(r)$

$$h(r) = h_5 r^5 + h_4 r^4 + h_3 r^3 + h_2 r^2 + h_1 r + h_0$$

جدول ۷-۱۰. ثوابت استفاده شده در تعیین عددی تابع $h(r)$.

	K_1	K_2	$a(Nm)$	$Q_n(Nm)$	$EPSILON$	Nano-Plate Radius(Nm)	Nonlocal Parameter(Nm)
1	100	100	100	100	1.00E-07	30	30
2	100	100	100	100	1.00E-07	30	50
3	100	100	100	100	1.00E-07	30	70
4	100	100	100	100	1.00E-07	30	100
5	100	100	100	100	1.00E-07	30	150
6	100	100	100	100	1.00E-07	30	200
7	100	100	100	100	1.00E-07	10	100
8	100	100	100	100	1.00E-07	50	100

جدول ۷-۱۱. ضرایب ثابت تابع $h(r)$ به ازای مقادیر مختلف داده شده در جدول ۷-۱۰.

	h_5	h_4	h_3	h_2	h_1	h_0
1	-0.5667	2.439	-4.797	5.856	-4.245	1.315
2	-0.4974	2.159	-4.361	5.53	-4.133	1.302
3	0.2179	-0.875	0.8749	0.9265	-2.069	0.924
4	1.665	-6.97	11.36	-8.307	2.096	0.156
5	3.844	-16.11	27.05	-22.1	8.314	-0.993
6	10.3	-43.31	73.84	-63.33	26.93	-4.437
7	-0.409	1.791	-3.738	4.994	-3.899	1.26
8	-0.5667	2.439	-4.797	5.856	-4.245	1.315

تابع $M(r)$

$$M(r) = M_5 r^5 + M_4 r^4 + M_3 r^3 + M_2 r^2 + M_1 r + M_0$$

جدول ۷-۱۲. ثوابت استفاده شده در تعیین عددی تابع $M(r)$.

	K_1	K_2	$a(Nm)$	$Q_n(Nm)$	$EPSILON$	Nano-Plate Radius(Nm)	Nonlocal Parameter(Nm)
1	100	100	100	100	1.00E-07	30	30
2	100	100	100	100	1.00E-07	30	50
3	100	100	100	100	1.00E-07	30	70
4	100	100	100	100	1.00E-07	30	100
5	100	100	100	100	1.00E-07	30	150
6	100	100	100	100	1.00E-07	30	200
7	100	100	100	100	1.00E-07	10	100
8	100	100	100	100	1.00E-07	50	100

جدول ۷-۱۳. ضرایب ثابت تابع $M(r)$ به ازای مقادیر مختلف داده شده در جدول ۷-۱۲.

	M_5	M_4	M_3	M_2	M_1	M_0
1	-0.6821	2.885	-5.579	6.665	-4.727	1.438
2	-0.9038	3.726	-7.063	8.245	-5.692	1.688
3	-1.556	6.238	-11.81	13.75	-9.254	2.635
4	1.665	-6.97	11.36	-8.307	2.096	0.156
5	-2.126	9.379	-19.75	24.07	-15.81	4.244
6	4.082	12.36	-79.88	120.7	-72.16	14.85
7	-1.023	4.164	-7.835	9.095	-6.234	1.834
8	-0.6821	2.885	-5.579	6.665	-4.727	1.438

Abstract

Nonlocal nonlinear axisymmetric vibration of a double-circular-nanoplate-system is considered. The two nanoplates are assumed to be bonded by an enclosing nonlinear elastic medium. Situation of this type would arise in multiple graphene sheets dispersed in nanocomposites. We use one approach to determine the nonlinear modes and natural frequencies of a clamped nanoplates are assumed to be bonded by an enclosing nonlinear elastic medium with distributed cubic nonlinearity. In this approach, we use the method of multiple scales to treat the governing partial-differential equation and boundary conditions directly. The study highlights that the smallscale effects considerably influence the transverse vibration of nonlocal double-circular-nanoplate-system(NDCNPS). The small-scale effects in NDCNPS are higher with the increasing values of nonlocal parameter for the case of synchronous modes of vibration than in the asynchronous modes. The increase of the stiffness of the coupling springs in NDCNPS reduces the small-scale effects during the asynchronous modes of vibration.

Keywords: Nonlinear Vibration, Multiple Scale, Double Nano-Plate System



Shahrood University of Technology

School of Mechanical Engineering

Nonlinear vibration of double circular nanoplate system bonded by an enclosing elastic medium

Reza Soltani

Supervisor:

Dr A.K.Mohammadi

September 2015

